

ՀԱՅԱՍՏԱՐԻ ՔԻՄԻԱԿԱՐ ՀԱՐԴԵՍ

Химический журнал армении

CHEMICAL JOURNAL OF ARMENIA

Издается с 1947 г. Выходит 12 раз в год на русском языке

₩ U F U \$ P U \$ U U U U U A I B \$ P P U

E1 121 1775

РЕДАКЦИОННАЯ КОЛЛЕГИЯ

Л. А. Акопян, И. А. Варданян, С. А. Вартанян, Г. О. Григорян, М. Г. Инджикян (зам. глав. редактора), Э. А. Маркарян, Г. Т. Мартиросли, А. А. Матнишян, С. Г. Мацоян (зам. глав. редактора), Ф. В. Мирзоян, А. Б. Налбандян (глав. редактор), С. А. Тер-Даниелян (ответ. секретарь)

ФИЗИЧЕСКАЯ ХИМИЯ

УДК 541.12+541.128.13+546.215

НЕКОТОРЫЕ ОСОБЕННОСТИ РАСПАДА ПАРОВ Н₂О₂ НА ПОВЕРХНОСТИ ГРАФИТА

Л. А. ВАРТИКЯН, Г. Л. ГРИГОРЯН и А. Б. НАЛБАНДЯН Институт химической физики АН Армянской ССР, Ереван Поступило 29 III 1985

Изучено разложение паров H_2O_2 на поверхности графита в проточных условиях проведения процесса при $T=473\div723$ К, $P_{H_2O_2}=0.067$ и 0.133 к Πa . Обнаружено, что наряду с продуктами распада H_2O_2 —водой и кислородом—в газовую фазу переходят иислородсодержащие соединения углерода (CO_2 , CO, CH_3OH и т. д.). Установлено, что распад не сопровождается выбросом гидроперекисных радвкалов в объем газа.

Табл. 1, библ. ссылок 11.

Факт обнаружения гидроперекисных радикалов в газовой фазе, образующихся при распаде паров H_2O_2 на ряде поверхностей [1], послужил причиной для проведения работ [2—4], в которых детально были изучены закономерности гетерогенного разложения паров H_2O_2 . На основании полученных данных был предложен механизм распада перекиси водорода [5]:

$$H_2O_{2ra3} \longrightarrow H_2O_{2agc} \longrightarrow 2OH_{agc}$$
, $OH_{agc} + H_2O_{2ra3} \longrightarrow HO_{2ra3} + H_2O$, $OH_{agc} + HO_{2agc} \longrightarrow H_2O + O_2$, $HO_{2agc} \longrightarrow$ частичный выход в газовую фазу.

Образование H_2O_2 как одного из промежуточных продуктов в ряде газофазных окислительных процессов и существование взаимоовязи между развивающейся в объеме реакцией и процессами, протекающими на поверхности реактора, делает актуальным вопрос выяснения влияния отдельных актов, идущих с участием частиц OH_{agc} , $OH_{2\,agc}$ и $HO_{2\,ras}$, на общий процесс.

Решение такой задачи требует дальнейшего углубления знаний о роли самой поверхности и, следовательно, необходимости изучения распада паров H_2O_2 на самых различных веществах.

В данной работе в качестве материала, на поверхности которого изучалось разложение паров перекиси водорода, был выбран графит.

Опыты проводились на струевой установке, описанной в работе [4]. В качестве газа-носителя паров высококонцентрированной H_2O_2 ($\sim 100\%$) марки «ос. ч.» в зависнмости от цели опыта в различных экспериментах брались поочередно N_2 , CH_4 , H_2 и их смеси. Реактором служила трубка из молибденового стекла (l=1 см, d=0.7 см), внутри ко-

торой располагался графит, выточенный в виде цилиндра (l=1 см, d=0.5 см). Температура в опытах менялась от 473 до 723К. Процесс распада изучался как при низком (0,4 кПа), так и при атмосферном давлениях. Время пребывания реагирующей смеси (τ) в зоне реактора в первом случае варьировалось в пределах от 10^{-4} до 10^{-3} с, а во втором составляло около 10^{-1} с. Давление паров H_2O_2 в обоих случаях поддерживалось постоянным и не превышало 0,133 кПа.

Хроматографический анализ показал, что распад H_2O_2 (газ-носитель N_2) сопровождается образованием CO_2 (до 15% от израсходованной H_2O_2). Помимо CO_2 , в газовой фазе была обнаружена в меньших количествах CO. Но самым интереоным и неожиданным, на наш взгляд, явился впервые наблюденный в этих условиях факт образования метилового спирта, следов этанола, формальдегида и других веществ.

В ходе опытов регулярно производился анализ только основных продуктов реакции CO₂ и CH₃OH.

В исследуемой области времен контакта (τ) увеличение температуры реактора и содержания H_2O_2 в смеси приводило к возрастанию скоростей образования CO_2 и CH_3OH . В таблице приведены некоторые данные, касающиеся кинетики расходования H_2O_2 и образования CO_2 , полученные для двух значений давления паров H_2O_2 —0,067 и 0,133 кIIа (общее давление равно 0,4 кIIа, газ-носитель N_2). Возрастание τ в одном случае (573K) приводит к увеличению выхода CO_2 , а в другом (523 и 473K) наблюдается обратная картина. Что касается метанола, то независимо от температуры реактора рост τ способствует возрастанию скорости его образования. Отметим, что выход метанола при этом не превышает 0,1% от количества распавшейся H_2O_2 .

Таблица

Темпера- тура реактора, К	5-103 c	К-во распавшейся Н ₂ О ₂ , %		К-во образовавшейся СО ₃ , % от распавшейся Н ₂ О ₃		
		$P_{H_{s}O_{s}} = 0.067$ $\kappa \Pi a$	$P_{H_2O_a} = 0.133$ $\kappa \Pi a$	$P_{H_{S}O_{S}} = 0.067$ $\kappa \Pi a$	$P_{\mathrm{H}_{i}\mathrm{O}_{i}} = 0.133$ $\kappa \Pi a$	
State of the	0,1	86	89	8	9	
573	0,2	90	94	10	10	
0200-32	0,85	93	98	15	14	
1000	0,1	80	85	10	9	
523	0,23	87	88	7	11	
	0,9	89	96	4	5	
473	0,12	65	77	8	12	
	0,3	79	87	2	7	
	1,0	87	92	2	4	

При изучении влияния добавок некоторых соединений на процесс распада H₂O₂ на поверхности графита оказалось, что они, заметно не влияя на глубину распада, сильно сказываются на составе продуктов реажции. Так, выяснилось, что присутствие СН₄ во всех случаях благоприятствует увеличению количества метанола, не изменяя при этом су-

щественно количества образующего CO_2 . Для наглядности укажем, что если выход метанола по отношению к израсходованной перекиси не превышал 0,1%, когда газом-носителем являлся азот, то в случае метана он достигал 1% при общем давлении 0,4 к Πa и 3—4%, когда опыты велись при атмосферном давлении. Наличие кислорода практически не меняло картины, в присутствии же H_2 наблюдалось увеличение выхода CH_3OH и уменьшение CO_2 . В лучшем случае выход CH_3OH удалось повысить заменой N_2 на H_2 приблизительно в 2 раза.

Подобная картина распада H_2O_2 наблюдалась и на других модификациях углерода (сажа, активированный уголь).

Необходимо отмстить, что во всех опытах гидроперекисные радикалы не регистрировались. Только при наличии метана в смеси с помощью ЭПР [6] удалось обнаружить алкилперекисные радикалы. Этот факт говорит о том, что СН₄ в ходе реажции с Н₂О₂ приводит к образованию радикалов RO₂, которые, будучи более пассивными, чем радикалы НО₂, отрываются от поверхности углерода и переходят в газовую фазу.

Заметим также, что в указанном интервале температур замена графита тажим же куском стекла приводит к резкому падению окорости образования углеродсодержащих продуктов при газе-носителе СН₄ и полному их исчезновению при газе-носителе N₂. Из этих опытов следует, что графит принимает участие в реажции образования вышеназванных веществ.

Известно [7—11], что при окислении указанных модификаций углерода кислородом, жидкой H_2O_2 или HNO_3 на повержности образуются окислы. Вполне определенно установлено образование карбоксильных, фенольных, гидроксильных и карбонильных групп. Что касается окисления углерода газообразной H_2O_2 , то можно предположить, что и здесь образуются вышеназванные поверхностные группы. Факт регистрации в газовой фазе кислородсодержащих соединений утлерода, образующихся в результате взаимодействия H_2O_2 с прафитом, говорит о том, что в данном случае имеет место деструктивное окисление, идущее с разрывом «ароматических» циклов у частично окисленных ранее атомов углерода. Это подтверждается и тем, что длительная обработка парами H_2O_2 приводит к постепенному уменьшению веса и охрупчиванню образцов графита.

Таким образом, если приведенная схема гетерогенного распада паров H_2O_2 отражает реальную картину и на поверхности графита, то можно предполагать, что HO_{****} и HO_{*****} вступают в реакцию с углеродом. Начальную стадию окисления на поверхности в соответствии с возможными формами поверхностных окисных групп можно схематично представить следующим образом:

образование же СО2 и СО:

Для доказательства подобных реакций с участием гидроперекисных радикалов были поставлены дополнительные опыты, где источником радикалов НО2 являлся гетерогенный распад паров Н2О2 на поверхности молибденового стекла (в остальном условия проведения опытов не отличались от опытов, где активной поверхностью являлся графит). При наличии графита, расположенного между реактором и узлом вымораживания, где происходит накапливание продуктов реакции и, в частности, радикалов НО2 [4], нам не удалось зарегистрировать последних даже при очень длительных временах накопления, в то время как в отсутствие графита уже через несколько минут регистрировался спектр радикалов НО2. Таким образом, на поверхности графита гидроперекисные радикалы очень эффективно вступают в реакции и выход их в газовую фазу резко снижается.

Подобная картина получалась и при замене графита таким же куском активированного угля и стекла, на котором предварительно осаждалась сажа.

Что касается метилового спирта, а в равной мере этанола и формальдегида, то их образование можно представить, если предположить существование поверхностных водородсодержащих групп (СН₃, С₂Н₅, СН). В литературе [8] есть данные, говорящие в пользу такого предположения. Конкретно в наших опытах с графитом (газ-носитель паров H₂O₂—N₂) возможны два источника связанного водорода. Первый—водород, имеющийся в самом графите. Анализ показал, что в исследуемых образцах количество его может достигать 1% от веса образца. Второй источник—водород, образующийся из самой перекиси при ее химическом взаимодействии с графитом. В обоих случаях при исследовании процесса распада H₂O₂ следует ожидать появления H₂ в газовой фазе.

Для проверки такой возможности нами использовалась ловушка, заполненная синтетическим цеолитом NaA (фракция 0,2 мм), размер пор которого составлял 4 Å. Контрольные опыты показали, что после предварительной активации цеолита ловушка, помещенная в жидкий азот, эффективно захватывает молекулярный водород. Пропуская через эту ловушку продукты реакции H_2O_2 с графитом, нам удалось обнаружить следы водорода, т. е., действительно, распад H_2O_2 сопровождается образованием водорода и, следовательно, имеется возможность для образования указанных гидридных групп. В пользу этого говорит факт возрастания количества CH_3OH в опытах с газом-носителем H_2 , о чем было сказано ранее.

Учитывая хорошую воспроизводимость результатов по продуктам реакции H_2O_2 с графитом, мы склонны предполагать, что водород вполне может образоваться из H_2O_2 при ее химическом взаимодействии с графитом.

Полученные данные не только представляют интерес для понимания механизма распада перекиси водорода, но и могут оказаться полезными для выяснения условий, при которых возможно проведение целенаправленного окисления в мягких условиях (невысожие температуры, давление) горючих ископаемых до ценных кислородсодержащих соединений.

H₂O₂ ԳՈԼՈՐՇԻՆԵՐԻ ՔԱՅՔԱՅՄԱՆ ՈՐՈՇ ԱՌԱՆՁՆԱՀԱՏԿՈՒԹՅՈՒՆՆԵՐԸ ԳՐԱՖԻՏԻ ՄԱԿԵՐԵՍԻ ՎՐԱ

լ. Ա. ՎԱՐԴԻԿՑԱՆ, Գ. Լ. ԳՐԻԳՈՐՑԱՆ և Ա. Բ. ՆԱԼԲԱՆԴՑԱՆ

Ուսումնասիրված է H₂O₂ գոլորշիների քայքայումը գրաֆիտի մակերեսի վրա հոսքային պայմաններում։ Հայտնաբերված է, որ քայքայման արդասիք-ներից բացի (H₂O և O₂) գազային ծավալ են անցնում ածիածնի թթվածին պարունակող միացություններ (CO₂, CO, CH₃OH և այլն)։ Պրոցեսի ընթացբում գազային ծավալում չեն հայտնաբերված HO₂ ռադիկալներ։

CERTAIN FEATURES OF HYDROGEN PEROXIDE VAPOUR DECOMPOSITION ON GRAPHITE SURFACES

L. A. VARDIKIAN, G. L. GRIGORIAN and A. B. NALBANDIAN

The decomposition of H_2O_2 vapours on graphite surfaces has been investigated under flow conditions. It has been found that compounds of carbon containing oxygen pass into the gas volume (CO₂, CO, CH₂OH etc) besides decomposition products (H_2O and O_2). No HO_2 radicals have been discovered in the gas volume during the process.

ЛИТЕРАТУРА

- 1. Григорян Г. Л., Налбандян А. Б. ДАН СССР, 1977, т. 235, с. 381.
- 2. Минасян В. Т., Григорян Г. Л., Налбандян А. Б. Арм. хим. ж., 1978, т. 31, № 1, с. 45.
- 3. Вартикян Л. А., Гарибян Э. Г., Григорян Г. Л., Варданян И. А., Налбандян А. Б. Кын. в кат., 1980, т. 21, с. 174.
- 4. Вартикян Л. А., Григорян Г. Л., Налбандян А. Б. ДАН СССР, 1980, т. 254, с. 914.
- Вартикян Л. А. Гетерогенный радикальный распад паров перекиси водорода. Автореферат на сонскание уч. ст. канд. хям. наук. Ереван, 1982.
- 6. Наябандян А. Б., Манташян А. А. Элементарные процессы в медленных газофазных реакциях. Ереван, Изд. АН Арм. ССР, 1975.
- 7. Линсен Б. Г. Строение и свойства адсорбентов и катализаторов. М., Мир, 1973.
- Баландин А. А. сб. «Стереохимия и механизмы органических реакций». М., Мир, 1968.
- Смирнов Е. П., Краснобрыжий А. В. Изв. вузов, сер. химия и хим. технология, 1981, т. 24, с. 1029.
- 10. Василенко И. И. ЖПХ, 1982, т. 55, с. 926.
- Немеровец Н. Н., Суровкин В. Ф., Орелов С. В., Сажин Г. В., Садовничук Н. Г. Химия твердого топлива, 1980, № 4, с. 120.

ОБНАРУЖЕНИЕ МЕТОДОМ ЭПР РАДИКАЛОВ, ВОЗНИКАЮЩИХ ПРИ ОКИСЛЕНИИ ВОДОРОДА И МЕТАНА В КОНТАКТЕ С МОЛИБДЕНИТОМ

А. Ж. КОСОЯН, Л. А. ХАЧАТРЯН, О. М. НИАЗЯН и А. А. МАНТАШЯН Институт химической физики АН Армянской ССР, Ереван Поступило 29 111 1985

Методом ЭПР изучался процесс превращения молибденита в условиях протекания цепных газофазных реакций окислепия метана и водорода. Исследование проводилось при атмосферном давлении в струевых условиях при температурах 863, 1078К и разных временах контакта. Соотношение исходных веществ 15:1. Показано, что развитие процесса происходит с участием серусодержащих радикалов.

Рис. 2, библ. ссылок 8.

Как было показано в [1—3], цепные реакции окисления водорода и углеводородов, в ходе которых возникают высокие концентрации атомов и радикалов, активно воздействуют на неорганические соединения, вызывая их превращения. В частности, при контактировании с халькопиритом наблюдается образование сероводорода и других серусодержащих продуктов.

Исходя из того, что атомы и радикалы, образующиеся в цепной газофазной реакции, обладая высокой реакционной способностью, могут, взаимодействуя с сульфидом, приводить к образованию новых радикалов, выходящих в газовую фазу и продолжающих в ней развитие цепей, в данной работе методом ЭПР изучался процесс превращения сульфида молибдена под воздействием цепных реакций окисления водорода и метана.

Опыты проводились на струевой установке, реактором служила кварцевая цилиндрическая трубка размерами d=18 мм, V=46 см³, в которую помещалась кварцевая лодочка с порошкообразным сульфидом молибдена массой в l г. Из газовой фазы отбиралась проба для анализа газообразных продуктов на хроматографе. Отбор производился через капиллярную трубку, вставленную в реактор, непосредственно над сульфидом молибдена. Температура в реакторе контролировалась и регулировалась с помощью термопар и системы терморегулирования. Обогрев реактора осуществлялся с помощью электропечи. Для обнаружения активных центров применялся метод вымораживания радикалов [4].

Для осуществления цепного процесса и сопряженного превращения сульфида молибдена газовая смесь, состоящая из водорода и кислорода или метана и кислорода в соотношении 15:1, подавалась в нагретый реактор при атмосферном давлении после предварительного смешивания. Эксперимент проводился при разных температурах.

В каждой серии опытов скорость газового потока поддерживалась постоянной, что обеспечивало определенную степень превращения и, сле-

довательно, определенные концентрации свободных радихалов и атомов, генерируемых газофазной цепной реакцией.

Экспериментальные данные, полученные для смеси $15H_2:O_2$ ($\tau=40~c$) при T=863К, представлены на рис. 1, из которого видно, что через одну минуту после начала процесса концентрация H_2 Ѕ достигает своего максимального значения в газовой фазе. Максимум выхода H_2 Ѕ и дальнейшее уменьшение концентрации его, очевидно, связаны с уменьшением содержания серы в исходном образце в результате превращения сульфида молибдена по ходу процесса. В этих условиях производился отбор газов на вымораживание с целью обнаружения радикалов. Спектр ЭПР вымороженных из зоны феакции радикалов представлена на рис. 2а.

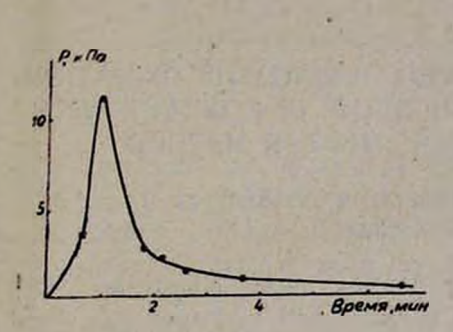


Рис. 1. Кинстика выделения H_2S при $\tau = 40 \ c$. $H_2: O_2 = 15:1$, $m=1 \ z$.

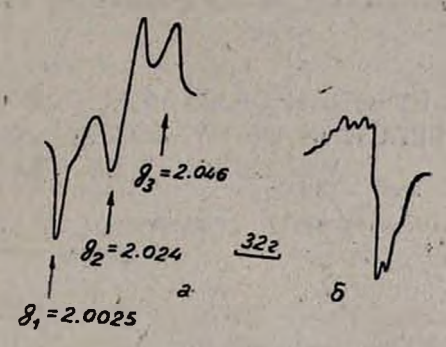


Рис. 2. Спектр вымороженных радикалов, полученных: а — при взаимодействии целной реакции окисления водорода (T=863K, τ =40 c, H_2 : O_2 =15:1) и метана (T=1078K, τ =30 c, CH_4 : O_2 =15:1) с молибденитом; 6—при окислении метана, CH_4 : O_2 =15:1, T=1078 K, τ =30 c.

Процесс превращения молибденита под воздействием реакции окисления метана кислородом изучался при 1078K, когда время контакта газофаэной реакции составляло т=30 с.

Предварительно в тех жс условиях изучалась реакция окисления метана без сульфида молибдена в реакторе. В этих условиях регистрируются перекисные радикалы типа RO₂, аналогичные полученным в работе [5] (рис. 26). В опытах, когда в реактор помещалась лодочка с сульфидом, с увеличением продолжительности опыта по ходу развития процесса наблюдается изменение спектра ЭПР. Зарегистрированные при этом спектры ЭПР парамагнитных частиц, представленные на рис. 2а, по ширине и структуре похожи на спектры ЭПР серусодержащих радикалов, зафиксированных в работах [6, 7]. Они совпадают со спектрами ЭПР радикалов, вымороженных из зоны газофазных реакций окисления водорода и метана, в среде которых подвергался превращениям халькопирит [8].

Таким образом, при воздействии целными реакциями окисления водорода и метана на сульфид молибдена (MoS₂) происходит превращение сульфида с образованием сероводорода и серусодержащих радикалов.

ՄԵԹԱՆԻ ԵՎ ՋՐԱԾՆԻ ՕՔՍԻԴԱՑՄԱՆ ՌԵԱԿՑԻԱՅԻ ԵՎ ՄՈԼԻԲԴԵՆԻՏԻ ՓՈԽԱԶԴԵՑՈՒԹՅԱՆ ՀԵՏԵՎԱՆՔՈՎ ԱՌԱՋԱՑԱԾ ՌԱԴԻԿԱԼՆԵՐԻ ՀԱՅՏՆԱԲԵՐՈՒՄԸ ԷՊՌ ՄԵԹՈԴՈՎ

2. J. HOUDBUL, L. B. BURGSPEUL, O. U. LHURBUL L. U. U. ULLPUCBUL

ԷՊՌ մեթոդով ուսումնասիրվել է մեթանի և չրածնի օքսիդացման շղթայական գազաֆազ ռեակցիաների պայմաններում մոլիբդենիտի փոխարկման պրոgbupt

Հետազոտությունը կատարվել է մթնոլորտային ճնշման տակ հոսքային պայմաններում, 863, 1078Қ ջերմաստիճաններում և տարբեր կոնտակտի տևո-

ղությունների տակ։ Ելանյութերի հարաբերությունը եղել է 15 ։ 1.

Ցույց է տրվել, որ պրոցեսի զարգացումը տեղի է ունենում միևնույն ակտիվ կենտրոնների՝ ծծումբ պարունակող ռադիկանների օգնությամբ։

DETECTION OF RADICALS PRODUCED DURING THE OXIDATION REACTION OF HYDROGEN AND METHANE IN CONTACT WITH MOLYBDENITE BY MEANS OF THE EPR METHOD

H. Zh. KOSSOYAN, L. A. KHACHATRIAN, O. M. NIAZIAN and A. A. MANTASHIAN

The conversion process of molybdenites under gas-phase chain reaction conditions of the oxidation of methane and hydrogen has been studied by the EPR method.

The investigation has been carried out at atmospheric pressure, at various contact times, under flow conditions and at temperatures T=863K and 1078 K. The ratio of the starting materials was 15:1.

It has been shown that the development of the process occurs by means of the same active centres sulfur containing radicals.

ЛИТЕРАТУРА

- 1. Манташян А. А., Ниазян О. М. Арм. хнм. ж., 1981, т. 34, № 6, с. 523.
- 3. Карапетян А. З., Ниазян О. М., Манташян А. А. Арм. хим. ж., 1984, с. 37, № 2, с. 73. 3. Карапетян А. З., Ниазян О. М., Манташян А. А. Арм. хим. ж., 1984, с. 37, № 2, с. 73.
- 4. Налбандян А. Б., Манташян А. А. Элементарные процессы в медленных газофазных реакциях. Ереван, Изд. АН Арм. ССР, 1975.
- 5. Манташян А. А., Хачатрян Л. А., Ниазян О. М. ЖФХ, 1977, т. 41, с. 341.
- 6. Rodford H. E., Rice F. O. J. Chem. Phys., 1960, vol. 33, p. 774.
- 7. //odgson W. G., Bückler S. A., Peters G. J. Amer. Soc., 1963, vol. 85, p. 543.
- 8. Багдасарян В. Р., Хачатрян Л. А., Ниазян О. М., Манташян А. А. Кня. и кат. 1986, T. 27, No 1, c. 16.

- ОРГАНИЧЕСКАЯ ХИМИЯ

УДК 547.853.7

ОКСАЗОЛО[5,4-d]ПИРИМИДИНЫ

Р. Г. МЕЛИК-ОГАНДЖАНЯН, Т. А. ХАЧАТРЯН, А. Г. МАНУКЯН я М. А. КАЛДРИКЯН

Институт тонкой органической химин вм. А. Л. Миджояна АН Армянской ССР, Ереван

Поступило 13 XII 1984

Систематизирован накопленный к настоящему времени материал по методам синтеза и химическим свойствам оксазоло [5,4-d] пиримидинов.

Введение

Среди конденсированных гетероциклических систем особое место занимают оксазоло [5,4-d] пиримидин и его производные, которые не были найдены в природных продуктах. Известны лишь его синтетические производные, являющиеся оксоаналогами природных пуринов и представляющие интерес как потенциальные антиметаболиты нуклеинового обмена.

Кроме того, указанные соединения могут служить промежуточными веществами для получения некоторых биологически важных соединений. Так, Фалко с сотр. [1] синтезирован ряд неприродных пуринов и родственных конденсированных пиримидиновых систем в качестве исходных веществ для синтеза нуклеиновых кислот.

Некоторые производные оксазоло[5,4-d] пиримидина I—IV

1. R=R'=R"=H; II. R=R'=CH₃, R"=H; III. R'=R"=H, R'=CH₃; IV. R=R'=CH₃, R=алкил, арил и аралкил

являются аналогами ксантина (V), кофенна (VI), теофиллина (VII) и теобромина (VIII)

V. R=R'=R''=H; VI. $R=R'=R''=CH_3$; VII. $R=R'=CH_3$, R''=H; VIII. R=H, $R'=R''=CH_3$

Так как кофеин, теофиллин и теобромин применяются в медицине как стимуляторы ЦНС, коронарорасширяющие средства и диуретики [2], то из-за близкого структурного сходства можно было ожидать, что N-метилированные оксазоло[5,4-d] пиримидины будут обладать определенной биологической активностью. И действительно, синтезированные Хагером и сотр. [3] оксазолопиримидины IV оказались биологически активными соединениями, в частности, оки обладали гипотензивными свойствами.

Впервые оксазоло [5,4-d] пиримидин был синтезирован в 1905 г. [4], однако широкие исследования этого ряда соединений проведены после 50-х годов. К настоящему времени назрела необходимость обобщения ли-

тературных данных по химии оксазолопиримидинов.

В данном обзоре рассмотрены основные методы синтеза оксазоло-[5,4-d] пиримидинов и их химические овойства. Методы синтеза можно разделить на две группы: замыкание оксазоловогощикла исходя из производных шестичленного гетероцикла—пиримидина и замыкание пиримидинового цикла исходя из производных пятичленного гетероцикла—оксавола.

Ниже приведена номенклатура и нумерация системы оксазолопиримидина по ИЮПАК, которые мы будем использовать в настоящем обзоре.

II. Методы синтеза оксазоло[5,4-d]пиримидинов замыканием оксазолового цикла в замещенных пиримидинах

Основными исходными веществами этого метода являются замещенные или незамещенные 5-амино-6-оксипиримидины. Система оксазоло-[5,4-d] пиримидина впервые была получена Джонсоном кипячением 2этилтио-4-окси-5-бензиламинопиримидина с хлорокисью фосфора [4].

$$C_2H_5S$$

NHCH₃C₆H₅

POCI₃
 C_2H_5S

N

O

 C_8H_9

Ширские исследования по синтезу оксазоло [5,4-d] пиримидинов были проведены Хитчингс и сотр. [1,5], которые фактически вновь «открыли» эту малоизвестную систему, исследовав как способы ее получения, так и некоторые химические свойства. Ими обнаружено в частности, что в зависимости от условий проведения реакции 4-окси-5-ациламинопиримидинов с хлорокисью фосфора получается смесь пуринов и оксазоло-[5,4-d] пиримидинов. Показано, что при применении тщательно высушенных амидопиримидинов и свежеперегнанной хлорокиси фосфора выходы оксазолопиримидинов снижаются до следов, в то время как при испольвовании хлорокиси фосфора, содержащей 0,5 мл воды на моль амидопи-

римидинов, оксазолопиримидины получаются с достаточно высокими выходами. Этим способом исходя из 5-ациламинопиримидинов была получены различные 2,5,7-тризамещенные оксазоло[5,4-d] пиримидины IX.

R=H, C_6H_5 , $4-CH_3C_6H_4$, $4-CIC_6H_4$, $4-NO_2C_6H_4$, $4-NH_2C_6H_4$, CH_3 , $3-NO_2C_6H_4$, $4-BrC_6H_4$, $2-BrC_6H_4$, X=H, CH_3 , $N(CH_3)_2$, CI, NH_2 ; Y=H, CH_3 , NH_2

Нагреванием IX ($R=C_6H_5$, X=Cl, Y=H) со спиртовым раствором аммиака при 140° получено 5-аминопроизводное 2-фенилоксаэоло[5,4-d]-пиримидина (IX, $R=C_0H_5$, $X=NH_2$, Y=H).

Боарланд и Маккоми [6], проводя синтезы 5-амино-4-оксипиримидинов—аналогов цитозина, получили 2-фенилоксазоло [5,4-d] пиримидин (XI) обработкой 5-бензиламидо-4-окси-2-метилтнопиримидина хлорокисью фосфора и последующим десульфурированием образовавшегося 2-фенил-5-метилтиооксазоло [5,4-d] пиримидина X.

Аналогично нагревание 2-амино-5-бензиламино-4-метил-6-оксипиримидина с хлорокисью фосфора при 110° приводит к 5-амино-7-метил-2фенилоксазоло[5,4-d] лиримидину (XII) [7].

Интересные исследования по синтезу производных оксазоло [5,4-d]-пиримидинов были проведены Билтцем и сотр., а также Хагером и сотр., [8—10], которые конденсацией 1,3-диметилурамила и урамила с уксусным ангидридом синтезировали оксазоло [5,4-d] пиримидин XIII—8-замещенный аналог теофиллина и 2-метилоксазоло [5,4-d] пиримидин XIV.

XIII R=CHa; XIV R=H

При применении вместо уксусного ангидрида хлористого бензоила получено 2-фенильное производное XV.

$$\begin{array}{c} O \\ CH_3N \\ O \\ CH_3 \end{array} + C_0H_5CCI \\ O \\ CH_3 \\ XV \\ \end{array}$$

Использование эфиров, нитрилов, свободных кислот и альдегидов в конденсациях такого типа в отличие от ангидридов кислот не привело к удовлетворительным результатам [11].

Взаимодействие диметилурамила с 4-инпрофенилацетилхлоридом приводит к образованию нециклического продукта—1,3-диметил-5 (4-ингрофенилацето) урамила (XVI), который обработкой пятихлористым фосфором в хлороформе был переведен в соответствующий оксазоло [5,4-d]—пиримидин XVII [12].

$$H_{3}C-N = -CH_{2}C_{6}H_{4}NO_{2}(n)$$

$$R = -CH_{2}C_{6}H_{4}NO_{2}(n)$$

$$H_{3}C-N = -CH_{2}C_{6}H_{4}NO_{2}(n)$$

$$H_{3}C-N = -CH_{2}C_{6}H_{4}NO_{2}(n)$$

$$H_{3}C-N = -CH_{2}C_{6}H_{4}NO_{2}(n)$$

$$H_{3}C-N = -CH_{2}C_{6}H_{4}NO_{2}(n)$$

$$CH_{3}C-N = -CH_{2}C_{6}H_{4}NO_{2}(n)$$

$$CH_{3}C-N = -CH_{2}C_{6}H_{4}NO_{2}(n)$$

Попытка восстановить XVII в 2-(4-аминобензил)-4,6-диметил-5,7-сисазоло[5,4-d]пиримидиндион оказалась безуспешной [3], в то время как 2-(4-аминофенил)-4,6-диметил-5,7оксазоло[5,4-d]пиримидиндион (XIX) получен каталитическим восстановлением соответствующего нитросоединения XVIII.

Исследования по синтезу оксазоло [5,4-d] пиримидинов из ацетилурамила и его тиоаналога проведены Нишаваки [13], который установил,

что последние не циклизуются как хлорокисью фосфора, так и ацетилклоридом и уксусным ангидридом. При нагревании ацетилурамила XX со свежеперегнанным хлористым бензоилом получается 2-фенилоксазоло[5,4-d] пиримидин-5,7дион (XXI). Однако большой избыток циклизующего агента приводит к образованию 2-фенилоксазоло[5,4-d] пиримидин-4,6-дибензоил-5,7-диона (XXII). Гидролизом последнего водным раствором едкого натра получается XXI.

На основе спектральных данных, а также легкости образования дибензоильного производного XXII Нишаважи установлено, что 2-фенилоксазоло[5,4-d] пиримидин-5,7-дион (XXI) преобладающе существует в лактамной форме.

Обработка 2-тиоурацила XXIII хлористым бензоилом дает монобензоилированное соединение XXIV, гидролиз которого водным раствором едкого натра в ацетоне приводит к образованию 2-фенилоксазоло[5,4-d]-пиримидин-5-тион-7-она (XXV).

Эти результаты указывают на то, что переацилирование ацетильной пруппы бензольной происходит до циклизации в оксазоло[5,4-d] пири-

мидин. Возможно при этом происходит гидролитическое расщепление ацетильной группы с последующим бензоилированием урамила или его тноаналога.

2,4,6-Трифенилоксазоло[5,4-d] пиримидин XXVII синтезирован Нишаваки [13, 14] кипячением 5-амино-1,3-дифенил-2-тиобарбитуровой кислоты XXVI с хлористым бензонлом.

Интересные исследования в области синтеза производных оксазоло-[5,4-d] пиримидинов, а также их превращений проведены Ишидейт и Юми [15]. С целью изучения свойств системы оксазоло[5,4-d] пиримидина ими описан синтез 7-меркаптопроизводного 2-метилоксазоло[5,4-d] пиримидина XXXI по схеме:

Исходным веществом для синтеза XXXI служил 7-оксиоксазоло [5,4-d] пиримидин XXVIII, полученный конденсацией гидрохлорида 5-аминопиримидина XXXII с уксусным ангидридом. Килячением с избытком хлорокиси фосфора оксазоло [5,4-d] пиримидин XXVIII рециклизуется в 5-ацетамидо-6-хлор-4-окситиримидин (XXIX). Последний при взаимодействии с избытком хлорокиси фосфора циклизуется в 7-хлорпроизводное оксазоло [5,4-d] пиримидина XXX с низким выходом. Это соединение получено также непосредственно из 7 оксипроизводного XXVIII обработкой хлорокисью фосфора. Действием на 7-хлорпроизводное XXX насыщенным сероводородом водно-спиртовым раствором едкого натра синтезировано 7-меркаптопроизводное оксазоло [5,4-d] пиримидина XXXI.

Кипячением солянокислой соли 4,6-диовси-5-аминопиримидина XXXII с уксуоным и бензойным ангидридами получены соответственно 2-метил- и 2-фенил-7-оксиоксазоло[5,4-d] пиримидины XXXIII. Последние аналогично [15] переведены в 7-меркаптоаналог XXXV через 7-хлороксазоло[5,4-d] пиримидины (XXXIV). Из хлорпроизводного XXXIV действием амина получены 7-аминооксазолопиримидины XXXVII [16].

a. $R = CH_3$; $R' = CH_3$; 6. $R = CH_3$; $R' = CH_2C_6H_5$; B. $R = C_6H_5$. $R' = CH_3$; r. $R = C_6H_5$; $R' = CH_2C_6H_5$

В работе [17] описан синтез 2-оксиоксазоло[5,4-d] пиримидина: (XXXVIII) из гидразида 4-окси-5-карбоксипиримидина (XXXIX) перегруппировкой Курциуса действием нитрита наприя и уксусной кислоты при комнатной температуре.

Новый метод по синтезу оксазоло [5,4-d] пиримидинов, предложенный явономими авторами [18, 19] заключается во взаимодействии 5-бензилиденамино-1,3-диметилбарбитуровых кислот XL с избытком хлористото тионила при 55°.

R=H, 4-Br, 4-Cl, 2,4-Cl₂, 3,4-Cl₂, 4-NO₂, 4-CH₂, 4-OCH₃, 3,4-(OCH₃)₂

Авторы предполагают, что получение оксазоло [5,4-d] ширимидина XLI происходит через первоначальное образование промежуточного сульфинилорида и последующее элиминирование хлористого водорода и монооксида серы по схеме:

Некоторые из вышеуказанных соединений с довольно хорошими выходами были синтезированы этими же авторами [20] действием N-бромсукцинамида на 5-бензилиденамино-1,3-диметилбарбитуровые кислоты (XL) в хлороформе при температуре кипения последнего.

R=H, Br, OCH,

Кипячением 6- (бензилиден-1-метилгидразино) -1,3-диметилурацилов (XLII) с нитритом натрия в уксусной кислоте получены соответствующие 2-арил-5,7-диметилоксазоло[5,4-d] пиримидин-4,6-дионы (XLIII) с низкими выходами [21].

R=H, 4-Br, 4-Cl, 3,4-Cl₂, 4-NO₂, 4-CH₃, 4-OCH₃.

Авторы полагают, что эта реакция несомненно включает в себя первоначальное нитрозирование в положении 5 урацила XLII, однако подробности механизма реакции пока не сообщаются.

Нами предложен метод синтеза 2,5-диметил-7-хлор- и 7-аминозамещенных оксазоло[5,4-d] пиримидинов XLIV, XLV исходя из 2-метил-4,6диокен-5-ацетиламинопиримидина. Напреванием последнего в избытке хлорокиси фосфора в присутствии диметиланилина синтезирован 2,5-диметил-7-хлороксазоло[5,4-d] пиримидин (XLIV), действием на который различных вторичных аминов в мягких условиях получены 7-замещенные амино-2,5-диметилоксазоло[5,4-d] пиримидины XLV, обладающие невысокой противоопухолевой активностью [22, 23].

OH

NHCOCH₃

PÓCI₄

$$A$$
 A

NHR₃

NHR₂

NR₂

NR₂

NR₂

NR₃

NR₂

NR₃

NR₂

NR₃

NR₂

NR₃

NR₄

NR₅

Позднее в японском патенте описано получение 5-метил-7-диэтиламинооксазоло[5,4-d] пиримидина (XLVI) циклизацией 4-диэтиламино-5формамидо-6-окси-2-метилпиримидина в избытке хлорокиси фосфора [24].

Указано, что соединение XI.VI обладает биологической активностью, однако не приведено конкретных данных.

III. Методы синтеза оксазоло[5,4-d]пиримидинов замыканием пиримидинового цикла в замещенных оксазолах

Впервые система оксазоло [5,4-d] пиримидина исходя из пятичленного гетероцикла получена в 1961 году на примере 2-фенил-5-метил-7-оксазоло [5,4-d] пиримидина (XLVIII) с 12% выходом в результате реакции 5-апетамидо-4-шнан-2-фенилоксазола (XLVII) с 10% водным раствором едкого кали и 6% пережисью водорода [25].

Описано получение 7-аминооксазоло [5,4-d] пиримидина (L)—кислородного аналога аденина с 26% выходом, заключающееся во взаимодействии 4-циан-5-аминооксазола (XLIX) с ацетатом формамидина в диметилформамиде при 100° в токе азота [26].

Японскими авторами получены различные 7-аминозамещенные оксазоло[5,4-d] пиримидины LII из 5-амино-4-цианоксазолов через N-этоксиметиленпроизводные LI действием аммиака и некоторых аминов [27, 28].

где R=R'=H; R=H; $R'=CH_3$; $R=CH_3$; R'=H; $R=R'=CH_3$; R=H, $R'=C_2H_5$; $R=C_2H_5$, R'=H; R'=H, $R'=C_2H_5$, R'=H; R'=H, R'=H,

[•] Это соединение ускоряет деление клеток [29].

Взаимодействие с ариламинами требует более жестких условий и

при этом получаются соответствующие гипоксантины [28].

7-Оксиоксазоло [5,4-d] пиримидин, 2-метил- и 2,6-диметил-7-оксиоксазоло [5,4-d] пиримидины LV синтезированы напреванием 5-ациламинооксазоло-4-карбоксамидов (I.III) с раствором двууглекислого натрия [30], а также из 5-аминооксазоло-4-карбоксамидов через промежуточные 5-этоксиметиленамино-4-карбоксамиды LIV [31]:

R=H, CH_3 ; R'=H, CH_3 , R''=H, CH_3

Ряд 5-алкокси-7(6H) иминооксазоло[5,4-d] пиримидинов (LVI), содержащих различные заместители во 2 и 5 положениях, были получены подобно описанному ранее методу [28] взаимодействием 4-циан-5-диалкоксиметиленаминооксазолов с некоторыми первичными аминами [32].

IV. Химические свойства оксазоло[5,4-d]пиримидинов

Наиболее важным свойством оксазоло [5,4-d] пиримидинов является их способность превращаться в производные пурина, что было впервые установлено Хитчингсом и сотр. [1], которые получили гипоксантины LVII длительным нагреванием 2-фенил-5-хлороксазоло [5,4-d] пиримидина и 2-(4-хлорфенил)-5,7-диаминооксазоло [5,4-d] пиримидина со опиртовым раствором аммиака при 160° в запажнной трубке.

LVIII (R'=H, R2=CH3; R=CI)

В этой же работе осуществлено превращение 7-амино-2-(4-хлор-фенил) оксазоло [5,4-d] пиримидина в 6-амино-8-(4-хлорфенил) -9-метил-пурин (LVIII) нагреванием со спиртовым метиламином при 160°.

Аналогичные превращения производных оксазоло [5,4-d] пиримидинов в гипоксантины описаны японскими авторами. Действием 4N водного раствора едкого натра на 7-аминооксазоло [5,4-d] пиримидин сначала при комнатной температуре, далее при температуре 60—80° с последующим подкислением реакционной смеси получен гипоксантин [28]. Реакция происходит за счет разрушения оксазольного кольца в результате атаки гидроксильной группы по С₅ атому оксазольного цикла и последующего образования оксипурина [33, 34].

где

При нагревании оксазоло [5,4-d] пиримидинов LIX с формамидом получены 9-замещенные гипоксантины LX, содержащие во 2-ом и 5-ом положениях водород или метильные группы, а в 9-ом—алкильные и арильные заместители [28].

Иначе происходит превращение 6-замещенных 7 (6H)-иминооксазо-ло[5,4-d] пиримидинов LVI, содержащих в положении 5 алкоксильную группу. В щелочной среде или при нагревании с формамидом из этих соединений образуются 3-замещенные ксантины LXI [32].

Descrive Astrono-5-s

Тщательное изучение реакции 4-циано-5-этоксиметиленаминооксазола с водным раствором метиламина показало, что при этом также получается промежуточное иминосоединение LVI ($R^1 = R^2 = H$, $R^3 = CH_3$),
структура которого в сыром виде подтверждена данными ИК и ЯМР
спектроскопии. Однако дальнейшая очистка его перекристаллизацией
вызывала перегруппировку Димрота, приводящую к образованию соединения LII ($R^1 = R^2 = H$, $R^3 = CH_3$) [32].

Скорость этой перегруппировки уменьшается с возрастанием электронной плотности пиримидинового кольца. Поэтому в настоящей реакции электродонорный эффект заместителя положения 5 ($R^2 = OC_2H_5$) может стабилизировать иминную структуру LVI.

7-Аминооксазоло [5,4-d] пиримидин L11 (R²=R¹=R³=H) можно рассматривать как соединение, имеющее промежуточную структуру между адениюм и гипоксантином. В связи с этим было исследовано его поведение при обработке надуксусной кислотой. Показано, что при этом из 7-аминооксазоло [5,4-d] пиримидина получается 6,8-диоксипурин (LXIII).

Отсука и сотр. [35] полагают, что образование этого продукта происходит через промежуточный 7-аминооксазоло[5,4-d]лиримидин-1-ок-

сид (LXII).

Превращение I.XII в LXIII может быть объяснено по аналогии с известной перегруппировкой альдонитрилов в изомерные амиды в кислой среде.

Окисление атома азота в оксазоло [5,4-d] пиримидине в отличие от пуринов и тиазолопиримидинов происходит в 1-ом положении; авторы это приписывают различию в электронной плотности пятичленных циклов. Электроноизбыточный характер цикла оксазола и электронодефицитный пиримидинового объясняет предпочтительное окисление оксазольного цикла в оксазоло [5,4-d] пиримидине.

Этими же авторами осуществлен синтез 7-аминооксазоло [5,4-d] пиримидин-6-оксида (LXIV), структура которого была подтверждена физико-химическими свойствами, а также его перегруппировкой в гипоксантин-3-оксид (LXV) при обработке водной щелочью.

Попытка получить 7-аминооксаэоло[5,4-d] пиримидин каталитическим восстановлением LXIV Pt/C оказалась безуспециой [36].

Ишидейт и Юки установили, что 2-метил-7-оксиоксазоло [5,4-d] пиримидин при нагревании с пятисернистым фосфором в тетралине при 170—180° превращается в 7-меркаптопроизводное LXVI [15].

Последний 20-минутным кипячением с 10% соляной кислотой легко превращается в тиазоло[5,4-d] пиримидин LXVII.

Такое же превращение происходит и при нагревании кристаллов 2-метил-7-меркаптооксазоло[5,4-d] пиримидина при 270—300° [15].

Следует отметить высокую реакционную способность атома хлора в 7-ом положении оксазоло [5,4-d] пиримидина, который в отличие от хлорпиримидинов намного легче подвергается нуклеофильному замещению [16, 23, 37].

 $R=H,\ CH_3,\ C_6H_5;\ R^1=H,\ CH_3;\ R^2=$ алкиламино, диалкиламино, алкилтио, меркапто, морфолил, пиперидил

Впервые нами также исследована реакция 2,5-диметил-7-хлороксазоло-[5,4-d] пиримидина с аминокислотами [38].

где R—остаток аминокислоты (глиции, D-(L)-алании, I-(L)-алании, D,I-валии, D-лейции, I-лейции, β -фенил- β -алании, саркозии, γ -аминомасляная кислота и I-пролии)

Реакцию проводят при определенном значении рН среды (9,5—10,5). На примере N-2,5-диметилоксазоло[5,4-d] пиримидил-7-β-фенил-β-аланина (LXX) показан возможный переход к пиримидиламинокислотам LXXI.

При изучении реакции раскрытия оксазольного цикла в оксазоло-[5,4-d] пиримидил-7-аминокислотах LXXа под действием каталитичеокого количества соляной кислоты в среде этанола обнаружена новая рециклизация, протекающая по схеме:

Очевидно, на первой стадии происходит раскрытие оксазольного цикла под действием соляной кислоты до соответствующих пиримидиламинокислот LXXIa, далее происходит этерификация с последующей циклизацией образующихся эфиров в птеридиндионы LXXII.

где R-остаток аминокислоты (аланин, валин, лейцин и β-фенил-а-аланин)

В пользу протекания реакции по указанной схеме говорит тот факт, что в аналогичных условиях оксазоло [5,4-d] пиримидины, содержащие β-или γ-аминокислоты, не подвергаются такой рециклизации. При этом реакция завершается на стадии образования эфира пиримидиламинокислоты [38].

Неустойчивость цикла оксазола в оксазоло [5,4-d] пиримидинах была показана еще Бильцем [8], который осуществил их расщепление в исходные 7-ациламинодиметилурамилы кипячением со спиртом и хлором.

Хагером и Кайзером установлено, что ожсазольное кольцо в оксазоло[5,4-d] пиримидинах неустойчиво в разбавленных минеральных кислотах [3].

Нами были проведены работы по исследованию поведения системы оксазоло [5,4-d] пиримидина в щелочной и кислой среде и предложен новый метод синтеза полифункциональных 5-аминопиримидинов [39]. Показано, что действие этилата натрия на 2,5-диметил-7-хлор- и 7-аминозамещенные оксазоло [5,4-d] пиримидины приводит к раскрытию оксазольного цикла с получением 2-метил-4-хлор- и 4-диалкиламино-5-ацетил-амино-6-этоксипиримидинов LXXIII.

XLIV. R=CI; XLV. $R=N(C_2H_5)_2$

Так же легко проходит гидролиз оксазоло [5,4-d] пиримидинов под дойствием кислот. Кратковременным кипячением 2,5-диметил-7-хлорок-сазоло [5,4-d] пиримидина (XLIV) с концентрированной соляной кислотой получен гидрохлорид 2-метил-4-хлор-5-амино-6-оксипиримидина (LXXIV) с высоким выходом. А в случае уксусной кислоты образуется 2-метил-4-хлор-5-ацетиламино-6-оксипиримидин (LXXV), который далее при кипячении с соляной кислотой деацитилируется в соединение LXXIV.

Аналогично взаимодействие полученных ранее [23] 2,5-диметил-7-диалкиламинозамещенных оксазоло[5,4-d] пиримидинов XLV с соляной кислотой приводит к получению гидрохлоридов 2-метил-4-диалкиламино-5-амино-6-оксипиримидинов LXXVI [39].

 $NR_2 = N(CH_3)_2$, $N(C_2H_3)_2$, $N(C_3H_7)_2$, морфолил, пиперидил

Установлено, что действием бензил-, *п*-алкоксибензил-, 3-хлор-4-метоксибензилокси- и у-хлоркротилоксиаминов на 2,5-диметил-7-хлорок-сазоло[5,4-d] пиримидин (XLIV) раскрывается оксазольный цикл и получаются соответственно 2-метил-4-хлор-5-ацетиламино-6-бензил (*п*-алкоксибензил-, 3-хлор-4-метоксибензилокси-, у-хлоркротилокси) аминопиримидины (LXXVII) [37, 39].

 $R = C_6 H_5 C H_2, \quad n - C H_3 O C_6 H_4 C H_2, \quad n - C_2 H_5 O C_6 H_4 C H_2, \quad n - C_3 H_7 O C_6 H_4 C H_2, \\ \sigma - u30 - C_3 H_7 C_6 H_4 C H_2, \quad n - C_6 H_9 O C_6 H_4 C H_2, \quad 3 - C I - 4 - C H_3 O C_6 H_4 C H_2 O, \quad C H_3 C C I = C H C H_3 O C_6 H_4 C H_2 O, \quad C H_3 C C I = C H C H_3 O C_6 H_4 C H_2 O, \quad C H_3 C C I = C H C H_3 O C_6 H_4 C H_2 O, \quad C H_3 C C I = C H C H_3 O C_6 H_4 C H_2 O, \quad C H_3 C C I = C H C H_3 O C_6 H_4 C H_2 O, \quad C H_3 C C I = C H C H_3 O C_6 H_4 C H_2 O, \quad C H_3 C C I = C H C H_3 O C_6 H_4 C H_2 O, \quad C H_3 C C I = C H C H_3 O C_6 H_4 C H_$

Однако при проведении этой реакции с избытком бензиламина в малополярном растворителе (гексан, гептан) в присутствии поташа наряду с основным продуктом образуется и в небольшом количестве побочный продукт реакции—продукт замещения атома хлора бензиламином (LXXVIII) [37].

Эти результаты позволяют утверждать, что при раскрытии оксазольного цикла в оксазоло [5,4-d] лиримидинах нуклеофильной атаке подвергается $C_{(5)}$ атом оксазольного цикла, так как в случае атаки по $C_{(2)}$ атому образование вышеприведенных продуктов реакции исключается [39].

В литературе отсутствуют данные о закономерностях масс-спектрометрического распада производных оксазоло[5,4-d] пиримидинов. Одним из нас изучено поведение 7-аминозамещенных оксазоло[5,4-d] пиримидинов под электронным ударом, определяя состав важнейших ионов, на основании масс-спектров высокого разрешения [40].

Анализ полученных масс-спектров и величин интенсивностей пиков характеристических ионов показывает, что увеличение размеров заместителей в аминогруппе уменьшает стабильность молекулярных ионов.

Наблюдаемый характер масс-спектрометрического поведения 4-аминооксазолопиримидинов связан прежде всего с процессами диссоциации аминогруппы, а также с расщеплением оксазольного ядра, что позволяет предположить преимущественную локализацию заряда в их молекулярных ионах в области пиримидинового ядра.

Анализом фрагментации таких соединений можно с уверенностью определить характер радикалов, стоящих у атома азота аминогруппы.

Таким образом, доступные методы синтеза и интересные химические свойства, особенно опособность превращения в различные полизамещенные пиримидины, пурины, тиазоло[5,4-d]-пиримидины, а также сравнительно малая изученность биологической активности оксазоло[5,4-d]пиримидинов объясняют интерес, проявляемый химиками-органиками к этой оистеме. Дальнейшие исследования в этой области, несомненно, приведут к созданию новых биологически активных производных оксазоло-[5,4-d]пиримидина.

JHTEPATYPA

Falko E. A., Ellon G. B., Hitchings G. H. — J. Am. Chem. Soc., 1952, vol. 74,
 p. 4897; Hitchings G. H., Filon G. B., Falko E. A., Russel P. B., Vanderwerff H. — Ann. N. Y. Ac. Sc., 1950, vol. 52, p. 1318.

2. Krantz J. C., Carr C. J. — The Pharmacologic principles of medicinal practic, second Edition, The Williams and Wilkins Co., Baltimore, 1951, p. 607.

3. Hager G. B., Kalser C .- J. Am. Pharm. Assoc., 1955, vol. 44, p. 193.

4. Johnson T. B. - Am. Chem. J., 1905, vol. 34, p. 203.

- 5. Russel P., Ellon G. B.. Hitchings G. H. J. Am. Chem. Soc., 1949, vol. 71, p. 474.
- 6. Boarland M. P. V., McOmik J. F. M. J. Org. Chem., 1952, vol. 32, p. 4942.
- Shirakawa K., Ban Sh., Yoneda M. J. Pharm. Soc. Japan, 1953, vol. 73, p. 643;
 A., 1954, vol. 48, 93646.
- 8. Biltz H., Strufe K. Lieb. Ann., 1914, Bd. 404, S. 170.
- 9. Blitz H. Lieb. Ann., 1914, Bd. 404, S. 180.
- Hager G. P., Krantz J. C., Harmon G. B., Burgison R. M. J. Am. Pharm. Assoc., 1954, vol. 43, p. 152.
- 11. Childress A. J., McKee R. L. J. Am. Chem. Soc., 1951, vol. 73, p. 3682.
- 12. Kaiser C. Univ. Microfilms, Publ. № 14, 203, 38 p. Dissertation Abstr; C. A., 1956, vol. 50, 2611a.
- 13. Nishiwaki T .- Nature, 1966, vol. 21, p. 737.
- Nishtwaki T. Chem. Pharm. Bull., 1966, vol. 14. p. 1425; C. A., 1967, vol. 67, 3059v.
- Ishidate M., Yuki H. Chem. Pharm. Bull., 1960, vol. 8, p. 137; C. A., 1961, vol. 55, 5518h, 5519h.
- 16. Pattl V. D., Townsend L. B. J. Heterocycl. Chem., 1971, vol. 8, p. 503.
- 17. Bredereck H., Effenberger F., Schweizer E. H. Chem. Ber., 1962, vol. 95, p. 956.
- 18. Senga K., Sato J., Nishigaki S. Heterocycles, 1977, vol. 6, p. 689.
- Senga K. Sato J., Nishigaki S. Chem. Pharm. Bull., 1978, vol. 26, p. 765; C. A., 1978, vol. 88, 190740d.
- 20. Senga K., Sato J., Shimizu K., Nishigaki S. Heterocycles, 1977, vol. 6, p. 1919.
- 21. Senga K., Kanamori Y., Nishigaki S. Heterocycles, 1977, vol. 6, p. 1925.
- 22. Авт. свид. 810699, СССР (Мелик-Оганджанян Р. Г., Хачатурян Т. А. Бюлл. изобр., 1981, .. М 9, с. 92).
- 23. Мелик-Оганджанян Р. Г., Хачатурян Т. А., Манукян Ж. С., Амирагов Дж. Г., Папоян С. А. — Арм. хим. ж., 1981, т. 34, № 4, с. 324.
- 24. Пат. 8235591 (1982), Яп. С. А., 1982, vol. 97, 92308g.
- 25. Jansen A. B. A., Szelke M. J. Chem. Soc., 1961, p. 405.
- 26. Ferris J. P., Orgel L. E. J. Am. Chem. Soc., 1966, vol. 88, p. 3829.
- 27. Ohtsuka Y. Bull. Chem. Soc. Japan, 1970, vol. 43, p. 187.
- 28. Ohtsuka Y. Bull. Chem. Soc. Japan, 1970, vol. 43, p. 3909.
- 29. Пат. 7305795 (1973), Яп.; С. А., 1973, vol. 78, 97703c.
- Sekiya M., Suzuki J. Chem. Pharm. Bull., 1970, vol. 18, p. 1233; C. A., 1970, vol. 73, 45453y.
- Sekiya M., Suzuki J. Chem. Pharm. Bull. 1970, vol. 18, p. 2242; C. A., 1971, vol. 74, 53705t.
- 32. Ohtsuka Y. Bull. Chem. Soc. Japan, 1973, vol. 46, p. 506.
- 33, Ohisuka Y. Bull. Chem. Soc. Japan, 1970, vol. 40, p. 954.
- 34. Пат. 7220031 (1972), Яп.; С. А., 1972, vol. 77, 101674t.
- 35. Ohtsuka Y., Sugimoto K. Bull. Chem. Soc. Japan, 1970, vol. 43, p. 2281.
- 36. Ohtsuka Y., Sugimoto K. Bull. Chem. Soc. Japan, 1970, vol. 43, p. 3305.
- 37. Мелик-Оганджанян Р. Г., Хачатурян Т. А., Мирзоян В. С., Степанян Г. М., Арсенян Ф. Г. Арм хим. ж., 1984, т. 37, № 12, с. 753.
- 38. Мелик-Оганджанян Р. Г., Манукян А. Г., Мирзоян В. С., Арсенян Ф. Г., Степанян Г. М., Гарибджанян Б. Т. Хим-фарм. ж., 1985, т. 19, № 6, с. 685.
- 39. Мелик-Оганджанян Р. Г., Хачатурян Т. А., Мирэоян В. С., Арсенян Ф. Г. ХГС, 1983, № 1, с. 112.
- 40. Мирзоян Р. Г., Басенцян К. Е., Терентьев П. Б., Мелик-Оганджанян Р. Г., Хачатурян Г. А. ХГС, 1982, № 9, с. 1255.

УДК 547.316+547.72+547.713

РЕАКЦИИ НЕПРЕДЕЛЬНЫХ СОЕДИНЕНИЙ

СХХІV. ВЗАИМОДЕЙСТВИЕ СОПРЯЖЕННЫХ АЛКЕНИНОВ С В-ДИКАРБОНИЛЬНЫМИ СОЕДИНЕНИЯМИ В ПРИСУТСТВИИ ОКИСЛИТЕЛЬНОЙ СИСТЕМЫ АЦЕТАТ МАРГАНЦА (III)/АЦЕТАТ МЕДИ(II).

Г. Г. МЕЛИКЯН, А. Б. САРГСЯН и Ш. О. БАДАНЯН Институт органической химин АН Армянской ССР, Ереван Поступило 4 111 1985

Изучено взаимодействие бутилвинилацетилсна, первичных, вторачных и третичных винилацетиленовых спиртов с ацетоуксусным эфиром и ацетилацетоном в присутствим окислятельной системы ацетат марганца (III) /ацетат медя (II). Показаво, что продуктами реакций являются 3-карбэтокси (ацетил) - 2-метил-5- (1-алкинил)) - 4,5-дигидрофураны. Табл. 2, библ. ссылок 26.

Дигидрофураны являются практически важным классом органических соединений, многие представители которого нашли применение в качестве полупродуктов тонкого органического синтеза [2]. Среди описанных в литературе способов получения производных 4,5-дигидрофурана [2—20] отдельный интерес представляет разработанный в последние годы метод их синтеза, состоящий во взаимодействии сопряженных систем с карбонильными соединениями в присутствии оксидов и ацетатов металлов переменной валентности, таких как серебро (II), овинец (IV) [21], марганец (III) и медь (II) [22—26]. В частности, недавно нами было показано, что 1-алкен-3-ины реагируют с α,α-диоксоалкильными радикалами, генерируемыми из β-дикарбонильных соединений под действием ацетата мартанца (III), с образованием 2,3,5-тривамещенных производных 4,5-дигидрофурана [25, 26].

Настоящая работа предпринята с целью дальнейшего расширения праниц применимости данной реакции и синтеза новых производных 4,5-дигидрофурана, представляющих интерес в качестве полупродуктов органического синтеза. В качестве ениновой компоненты в реакцию вовлечены 1-октен-3-ин, 4-пентен-2-ин-1-ол, 2-метил-6-гептен-4-ин-3-ол и 2,5-диметил-5-гексен-3-ин-2-ол, в качестве карбонильной компоненты—ацетоуксусный эфир и ацетилацетон. Реакции проводились при 60—65° в среде уксусной кислоты в присутствии эквимолярных количеств ацетата марганца (111) и каталитических добавок ацетата меди (11). Продуктами реакций являются 3-карботокси (ацетил) -2-метил-5- (1-алжинил) -4,5-дигидрофураны I—VII, образующиеся в результате окислительной циклизации промежуточных пропаргильных радикал-гаддуктов под действием ацетата меди (11) [25].

[•] Сообщение СХХIII см. в [1].

I. $R = C_4H_9$, $R_1 = H$, $R_2 = OC_2H_5$; II. $R = C_4H_9$, $R_1 = H$, $R_2 = CH_3$; III. $R = CH_2OH$, $R_1 = H$, $R_2 = OC_2H_5$; IV. $R = (CH_3)_2CHCH(OH)$, $R_1 = H$, $R_2 = OC_2H_5$; V. $R = (CH_3)_2CHCH(OH)$, $R_1 = H$, $R_2 = CH_3$; VI. $R = (CH_3)_2C(OH)$, $R_1 = CH_3$, $R_2 = OC_2H_5$; VII. $R = (CH_3)_2C(OH)$, $R_1 = CH_3$, $R_2 = CH_3$.

Дегидратация соединений VI и VII под действием концентрированной серной кислоты приводит к производным 4,5-дигидрофурана VIII и IX, а вовлечение их в обратную реакцию Фаворского в присутствии каталитических количеств едкого кали—к продуктам X и XI, соответственно. Следует отметить, что соединение X ранее было получено прямым взаимодействием изопропенилацетилена с ацетоуксусным эфиром [25].

$$\frac{1}{1-\frac{1}{2}} = \frac{1}{1-\frac{1}{2}} \frac{R_2}{R_2} \frac{R_2}$$

VI, VIII, X, $R_2 = OC_2H_5$: VII, IX, XI. $R_2 = CH_3$.

Экспериментальная часть

Спектры ПМР получены на спектрометре «Регкіп-ЕІтег R-12В» с частотой 60 $M\Gamma \mu$ в четыреххлористом углероде. Химические одвиги приведены в м. д. (шкала б) относительно ТМС, КССВ—в $\Gamma \mu$. ИК спектры измерены для чистых веществ в тонком слое на приборе UR-20. Анализ ГЖХ проводили на хроматографе ЛХМ-72 на стальных колонках 1,5 м $\times 4$ мм, газ-носитель—гелий. Колонки: № 1: $15^0/_0$ Apiezon L/Chromaton N-AW—DMCS (0,125—0,160 мм); № 2: $5^0/_0$: SE-30/Chromaton N-AW—DMCS (0,125—0,160 мм); № 3: $5^0/_0$ Reoplex-400/Chromaton N-Super (0,160—0,200 мм).

3-Карбэтокси (ацетил)-2-метил-5-(1-алкинил)-4,5-дигидрофураны 1—VII. 1 иповая методика. Реакционную смесь, содержащую 7 ммолей Си (ОАс)₂·2H₂O, 0,1 моля Мп (ОАс)₃·2H₂O, 0,1 моля 1-алкен-3-ина, 0,2 моля карбонильного соединения и 80 мл уксусной кислоты, нагревают при 60—65° в атмосфере аргона до исчезновения коричневой окраски (15—20 мин). После охлаждения реакционную смесь отфильтровывают, фильтрат разбавляют водой, экстрагируют эфиром. Эфирный экстракт промывают раствором Na₂CO₃, водой, сушат (Na₂SO₄). Эфир испаряют в вакууме 15 мм рт ст при 40—50°. Избыток ацетоуксусного эфира и ацетилацетона отгоняют в вакууме 1 мм рт ст. Индивидуальные соединения 1—VII выделяют перегонкой или с помощью колоночной хроматопрафии.

3-Карбэтокси-2,5-диметил-5-(3-метил-3-бутен-1-инил)-4,5-дигидрофуран (VIII) и 3-ацетил-2,5-диметил-5-(3-метил-3-бутен-1-инил)-4,5-дигидрофуран (IX). Получены из VI и VII, соответственно, по [26] кипячением в бензоле с каталитическим количеством конц. серной кислоты.

-	36	T	20	ГЖХ № колонки, Т. °С. мл/мин, ѓујерж., мин	Найдено, %		Брутто-	Вычислено,	
Соедине	Выхся,	°С/мм	120 120		С	н	формула	С	н
1	68	119/1,5	1,4871	к. 1; 190; 30; 33,3	70,75	8,41	C14H20O3	71,18	8,47
"II.	36	122/1,5	1,5070	к. 1; 190; 30; 27,6	76,12	8,89	C13H18O2	75,72	8,73
in	49	157/1,5	1,5120	к. 2; 180; 40; 6,3	62,80	7,00	C11H14O4	62,85	6,66
IV*	58	167/2	1,4985	к. 2; 185; 30; 7.5	66,10	7,62	C14H22O4	66,66	7,93
Vª	55	- 00	1,4940	к. 2; 190; 35; 4,5	70,31	8,11	C13H18O3	70,27	8,10
VI	66	133/2	1,4870	к, 1; 180; 30; 27,0	66,57	7,83	C14H20O4	66,66	7,93
VII	60	133/1,5	58—59 ⁶	к. 1; 180; 30; 25,5	69.87	7,90	C13H18O3	70,27	8,10
IIIV	72	118/1,5	1,4976	к. 3; 180; 30; 11.7	72,00	7,41	C14H18O3	71,83	7,69
IX"	68	112/1,5	1,5205	к. 2; 130; 35; 13,8	76,03	7,79	C13H18O2	76,46	7,84
х	68	79/1,5	1,4780	к. 3; 100; 30: 14,4	67,7	8,1	C11H14O3	68,0	7,70
IX	44	92/2,5	1,5030	к. 3; 180: 35; 8,4	73,17	7,31	C10H12O2	73,20	7,53

выделен с помощью колоночной хроматографии на силикателе (40—100 мкм).
 Соотношение образец/сорбент 1:50, обнаружение парами йода, элюент—гексан—эфир, 1:1;

Спектральные характеристики соединений I-XI

7 сблица 2

Соеди-	ИК спектр, <i>см</i> -1	ПМР спектр, в, м. д.		
1	2	3		
ı	1650 (C=C), 1700 (COOC ₂ H ₅), 2250 (C≡C)	0,87 наруш. т (3H, CH ₃), 1,20 т (3H, CH ₃), 1,20—1,60 м (4H, 2CH ₂), 2,11 т (3H, 2-CH ₂) 2,05—2,35 м (2H. CH ₃ C \equiv C), 2,90 центр АВ-системы каждая линия д. кв. (2H, 4-CH _A H _B), 4,08 кв (2H, OCH ₃), 5,10 д. д. т (1H, 5-H), $J_{\text{CH}_3\text{CH}_3}=6$,0, $J_{\text{CH}_4\text{CH}_2}=7$,3, $J_{\text{2-CH}_3\text{H}_A(B)}=1$,6, $J_{\text{H}_A\text{H}_B}=15$,1, $J_{\text{5-HH}_A}=9$,2, $J_{\text{5-HH}_B}=10$,7, $J_{\text{6-HCH}_2}=2$,0		
11:	1596, 1620 (C=C). 1660 (C=Q). 2250 (C≡C)	0,88 наруш. т (3H, CH ₂), 1,2-1,6 м (4H, 2CH ₂), 2,05 с (3H, CH ₂ CO), 2,12 т (3H, 2-GH ₂), 3,0 центр АВ-системы каждая линия д. кв. (2H, 4-CH _A H _B), 5,1 д. д. т (1H, 5-H), $J_{\text{CH}_4\text{CH}_2}$ =6,0, $J_{\text{2-CH}_4\text{H}_4}$ (9)=1,6, $J_{\text{H}_4\text{H}_B}$ =14,5, $J_{\text{5-HH}_4}$ =9,1, $J_{\text{5-HH}_B}$ =10,6, $J_{\text{5-HCH}_2}$ =2,0		

⁶⁾ Т. пл., °С.

Аналитический образец получен дополнительной очисткой перегнанного продукта с помощью колоночной хроматографии в условиях, приведенных в пункте а).

1	2	3
111	1644 (С=С), 1687 расщепл. (СООС ₂ Н ₅), 3430 шир (ОН)	1,20 т (3H, CH ₃), 2,11 т (3H, 2-CH ₃), 2,96 центр AB-системы каждая линия д. кв. (2H, 4-CH _A H _B), 3,92 с (1H, OH), 4,10 кв (2H, OCH ₂), 4,21 д (2H, OCH ₂), 5,20 д. д. т (1H, 5-H). $J_{\text{CH}_3\text{CH}_3}$ =7,1, $J_{\text{2-CH}_3\text{H}_A}$ (B) =1,2, $J_{\text{5-HH}_A}$ = =8,3, $J_{\text{5-HH}_B}$ = 9,8, $J_{\text{5-HCH}_3}$ =1,8
VI	1645 (C=C). 1685 расщепл. (COOC ₂ H ₃). 2245 (C≡C), 3445 шир (ОН)	0,91 д (6H, 2CH ₂), 1,21 т (3H, CH ₂), 1,69 д. кв. кв. (1H, CH), 2,12 т (3H, 2-CH ₂), 2,97 центр АВ-системы каждая линия д. кв. (2H, 4-CH _A H _B), 3,32 с (1H, OH), 4,11 кв (2H, OCH ₂), 4,08 д. д. (1H, OCH), 5,16 д. д. д (1H, 5-H), $J_{\text{CH}_2\text{CH}}$ =6,7, $J_{\text{CH}_2\text{CH}_3}$ =6,8, $J_{\text{2-CH}_3\text{H}_A}$ (B) =8,7, $J_{\text{5-HH}_B}$ = 10,0, $J_{\text{5-HOCH}}$ =1,9, J_{CHCH} =5,3
V	1595 ушир. (C=C), 1660 (C=O), 3390 шир. (OH)	0,92 д (6H, 2CH ₃), 2,10 с (3H, CH ₃ CO), 2,14 т (3H, 2-CH ₃), 3,04 центр AB-системы каждая линия д. кв. (2H, 4-CH _A H _B), 3,82 с (1H, OH), 4,12 д. д. (1H, CH), 5,20 д. д. д. (1H, 5-H), $J_{\text{CH}_3\text{CH}}{=}6,7$, $J_{2\text{-CH}_3\text{H}_A}$ (B) =1,5, $J_{5\text{-HH}_A}$ = 8,2, $J_{5\text{-HH}_B}$ = 9,7, $J_{5\text{-HCH}}$ = 1,5
VI	1645 (C=C), 1685, 1695 (COOC ₂ H ₅), 2250 (C≡C), 3430 шир. (OH)	1.22 т (3H, CH ₃), 1,41 с (6H, 2CH ₃), 1,53 с (3H, 5-CH ₃), 2,13 т (3H, 2-CH ₃), 2,90 центр. ABX ₃ -системы (2H, CH _A H _B), 3,05 с (1H, OH), 4,12 кв (2H, CH ₂), $J_{\text{CH}_3\text{CH}_2} = 7,5$, $J_{2\text{-CH}_3\text{H}_A}$ (B) = =1,7, J_{H_A} H _B = 16,0
VII	1595 (C=C), 1662 (C=O), 2250 (C≡C), 3400 шир. (ОН),	1.42 с (6H, 2CH ₃), 1,55 с (3H, 5-CH ₃), 2,11 с (3H, CH ₃ CO), 2,18 т (3H, 2-CH ₃), 3,05 центр ABX ₃ -системы (2H, CH _A H _B), 3,87 с (1H, OH), $J_{2\text{-CH3HA}}=1,6$, $J_{\text{HAHB}}=14,7$
VIII	1610 (C=C), 1645 (C=C), 1691 (COOC ₂ H ₅)	1,21 т (3H, CH ₃), 1,58 с (3H, 5-CH ₂), 1,86 ушир. т (3H, CH ₃ C=CH ₂), 2,15 т (3H, 2-CH ₃), 2,98 центр ABX ₃ -системы (2H, CH _A H _B), 4,12 кв. (2H, CH ₂), 5,30 м (2H, CH ₃ C=CH ₂), $J_{\text{CH}_3\text{CH}_2}$ = =7,3, $J_{\text{2-CH}_3\text{H}_K(\text{H}_B)}$ =1,6, $J_{\text{H}_A\text{H}_B}$ =14,9
1X	1595 (C=C), 1620 (C=C), 1670 (C=O), 2234 (C≡C)	1,59 с (3H, 5-CH ₃), 1,86 ушир. т (3H, CH ₃ C= CH ₂), 2,06 с (3H, CH ₃ CO), 2,15 т (3H, 2-CH ₃), 3,05 центр ABX ₃ -системы (2H, CH _A H _B), 5,31 м (2H, CH ₃ C=CH ₂), J _{2-CH₃H_A (B)} =1,7, J _{H_AH_B} =15,0
ХI	1595, 1618 расщепл. (C=C), 1665 (C=O), 2125 (C≡C), 3245, 3285 (≡СН)	1,60 с (3H, 5-CH ₃), 2,06 с (3H, CH ₃ CO), 2,14 т (3H, 2-CH ₃), 2,54 с (1H, C \equiv CH), 3,04 центр ABX ₃ -системы (2H, CH _A H _B), $J_{2\text{-CH}_8\text{H}_A}$ (B)=1,6, $J_{\text{H}_A\text{H}_B}$ =15,4

Спектры ИК и ПМР соединения X см. [25].
 Мультиплетность определяется после добавления CF₃COOH.

3-Карбэтокси-2,5-диметил-5-этинил-4,5-дигидрофуран (X) и 3-ацетил-2,5-диметил-5-этинил-4,5-дигидрофуран (XI). Получены из VI и VII, соответственно, нагреванием с каталитическим количеством технического едкого кали при 160°/13 мм с постепенным повышением вакуума до 2 мм по [26].

ՉՀԱԳԵՑԱԾ ՄԻԱՑՈՒԹՅՈՒՆՆԵՐԻ ՌԵԱԿՑԻԱՆԵՐ

CXXIV. ԶՈՒԳՈՐԴՎԱԾ ԱԼԿԵՆԻՆՆԵՐԻ ՓՈԽԱԶԴԵՑՈՒԹՅՈՒՆԸ β-ԴԻԿԱՐՔՈՆԻԼԱՅԻՆ ՄԻԱՑՈՒԹՑՈՒՆՆԵՐԻ ՀԵՏ, ՄԱՆԳԱՆԻ ԱՑԵՏԱՏ (III)/ ՊՂՆՁԻ (II) ԱՑԵՑԱՑ ՕՔՍԻԴԻՉ ՍԻՍՏԵՄԻ ՆԵՐԿԱՑՈՒԹՅԱՄԲ

Գ. Գ. ՄԵՍԻՔՑԱՆ, Հ. Բ. ՍԱՐԳՍՅԱՆ և Շ. Հ. ԲԱԴԱՆՅԱՆ

Ուսումնասիրված է բուտիլվինիլացետիլենի, առաջնային, երկրորդային և երրորդային վինիլացետիլենային սպիրտների փոխազդեցությունը ացետուջացախաթթվական էսթերի և ացետիլացետոնի հետ, մանգանի ացետատ (III)/ պղնձի ացետատ (II) օքսիդիչ սիստեմի ներկայությամբ։ Ցույց է տրված, որ ռեակցիայի արդասիջները հանդիսանում են 3-կարբէթոքսի (ացետիլ)-2-մեթիլ-5-(1-ալկինիլ)-4,5-դիհիդրոֆուրանները։

REACTIONS OF UNSATURATED COMPOUNDS

CXXIV. THE INTERACTION OF CONJUGATED ALKENYNES WITH β-DICARBONYL COMPOUNDS IN THE PRESENCE OF MANGANESE (III)
AND CUPRIC ACETATE OXIDATIVE SYSTEMS

O. G. MELIKIAN, H. B. SARGSIAN and Sh. O. BADANIAN

The interaction of butylvinyl acetylene, primary, secondary, and tertiary vinyl acetylenic alcohols with acetoacetic ester and acetylacetone in manganese (III) and cupric acetate systems has been investigated. It has been shown that the reactions products are 3-carbethoxy (acetyl)-2-methyl-5-(1-alkynyl)-4,5-dihydrofurans.

ЛИТЕРАТУРА

- 1. Агабабян Р. Г., Хримян А. П., Баданян Ш. О. Арм. хим. ж., 1985, т. 38, № 6, с. 364.
- 2. Славинская В. А., Караханов Р. А., Брежнев Л. Ю., Гейман И. И., Буленкова Л. Ф., Страутиня А К.— ХГС, 1982, № 10, с. 1299.
- 3. Гейман И. И., Буленкова Л. Ф., Лаэдиныи А. А., Вейнберг А. К., Славинская В. А., Авотс А. А.—— ХГС, 1981, № 4, с. 448.
- 4. Bartok M., Molnar A. Acta chim. acad. sci. Hung., 1979, vol. 100, № 1 4, p. 203.
- 5. Gelln S., Galllaud A. C. r., 1972, vol. C275, № 16, p. 897.
- 6. Couffignal R. Synthesis, 1978, N. 8, p. 581.
- 7. Тхор Т. Г., Сонова А. С., Ионин Б. И. ЖОрХ, 1976, т. 12, вып. 3, с. 648.
- 8. Capuano L., Fisher W. Chem. Ber., 1976, Bd. 109, S. 212.
- 9. Версщагин Л. И., Гайнулина С. Р., Кириллова Л. П., Липович Т. В. ЖОХ, 1969, т. 5. вып. 9, с. 1557; Сафронова Л. П., Медведева А. С. ЖОрХ, 1972, т. 8, вып. 7, с. 1373.
- 10. Botteghi C. Gazz. chim. ital., 1975, vol. 105, p. 233.
- 11. Kinoshita T., Miyano K., Miwa T. Bull. Chem. Soc. Japan, 1975, vol. 48, Ne 6, p. 1865.

12. Wenkert E., Alonso M. E., Buckwalter B. L., Chou K. J. — J. Am. Chem. Soc., 1977, vol. 99, 32 14, p. 4778.

13. Gianturco M. A., Friedel P., Planagan V. - Tetrah. Lett., 1965, N. 23, p. 1847.

14. Eglinton G., Jones E. R. H., Whriting M. C. – J. Chem. Soc., 1952. № 7, p. 2873; Cromble L., Manzor Khuda M., Smith R. J. D. – J. Chem. Soc., 1957, № 1, p. 479.

15. Fabricy A., Wichert Z. Z. - Tetrah. Lett., 1977, No. 15. p. 1307.

16. Holand S., Mercler F., Le Goff N., Epsztein R. — Bull. soc. chim. France, 1972, No. 11, p. 4357.

17. Эль Наггар Г., Ершов Б. А. — ЖОрХ, 1969, т. 5, вып. 8, с. 1368.

18. Campaigne E., Ellis R. L., Bradford M. - J. Heterocycl. Chem., 1969, vol. 6, № 2, p. 159.

19. Eberbach W., Burchart B. - Chem. Ber., 1978. Bd. 111, No. 11, S. 3665.

20. Morgenile S. — Acta. Chem. Scand., 1970, vol. 24, № 1, p. 365; Ried, W., König E., Liebigs J. — Ann. Chem., 1973, № 3, d. 375; Dauben W. G., Hart D. J. — Tetrah. Lett., 1975, № 49, 4353; Schlosser M., Schaub B., Spahic B., Sleiter G. — Helv. Chim. Acta, 1973, vol. 56, № 7, p. 2166.

21. Hajek M., Silhavy P., Malek J. - Coll., 1979, vol. 44, 1 8, p. 2393.

22. Helba E. I., Dessau R. M. - J. Org. Chem., 1974, vol. 39, N. 23, p. 3456.

23. Меликян Г. Г., Мкртчян Д. А., Баданян Ш. О. — ХГС, 1980, № 7, с. 884.

24. Виноградов М. Г., Радюкина Н. Л., Погосян М. С., Веренгиков С. П., Штейншнейдер А. Я., Никишин Г. И. — Изв. АН СССР, сер. хим., 1980, № 8, с. 1949.

25. Меликян Г. Г., Мкртчян Д. А., Баданян Ш. О. — ХГС, 1982, № 1, с. 19.

26. Меликян Г. Г., Мкртчян Д. А., Баданян Ш. О. — Арм. хим. ж., 1981, т. 34, № 12, c. 1011.

Армянский химический журнал, т. 39, № 4, стр. 233—237 (1986 г.)

УДК 541.546

ВЗАИМОДЕЙСТВИЕ µ-ЭТИЛЕНДИАМИНТЕТРАЖЦЕТАТО-ДИОКСОМОЛИБДЕНА (VI) С НЕКОТОРЫМИ МОНО-И БИДЕНТАТНЫМИ ЛИГАНДАМИ В ВОДНЫХ РАСТВОРАХ

3. Ш. МГОЯН, А. Я. ФРИДМАН и Н. М. ДЯТЛОВА

Всесоюзный научно-исследовательский институт особо чистых веществ и химических реактивов, Москва

Поступило 6 I 1986

Спектрофотомстрическим методом исследованы взаимодействия в водных растворах жомплексв Mo^{V1} с $Edta^{4-}$ с Br^- , Cl^- и F^- -нонами щавелевой и винной кислотами. Установлено образование смещьинолигандных комплексов состава $(MoO_2X_3)_2Edta$, и $(MoO_2X)_2Edta$ ($X=Br^-$, Cl^- , F^-) и $(MoO_2Y)_2Edta$ ($Y=Tart^{2-}$, Ox^{2-}). В комплексе $(MoO_3)_2Edta^{4-}$ центральный атом Mo^{V1} не способен координировать другие лиганды, что связано с отсутствием у него вакантных орбиталей.

Определены константы образования полученных комплексов. Рис. 1, библ. ссылок 12.

В [1] было показано образование в водных растворах биядерных комплексов Мо^{VI} с Edta^{4—}. Комплекс (МоО₃)₃Edta образуется по реакции

 $2H_{2}MoO_{4} + H_{4}Edta = (MoO_{2})_{2}Edta + 4H_{2}O$

а комплекс (MoO₂)₂Edta⁴⁻⁻ является продуктом превращения комплекса (MoO₂)₂Edta по реакции

 $(M_0O_2)_2Edta + 4OH^- = (M_0O_3)_2Edta^{4-} + 2H_2O.$

Строение комплекса (MoO₃)₂Edta⁴— в растворе аналогично его строению в твердом виде [2]. Исходя из этого можно сделать вывод об отсутствии у центрального атома Mo^{VI} вакантных орбиталей, и комплекс (MoO₃)₂Edta⁴— должен быть инертным к взаимодействию с другими лигандами в растворе. В комплексе (MoO₂)₂Edta у центрального атома Mo^{VI} должны бы появиться две вакантные орбитали, способные к перекрыванию с атомными орбиталями других лигандов.

Для проверки такого предположения были исследованы равновесня в системах $(MoO_3)_2$ Edta — X; Y и $(MoO_2)_2$ Edta — X; Y, где X — монодентатный, а Y — бидентатный лиганд. В литературе описаны оксогалогенидные комплексы Mo^{VI} , существующие в растворах соответствующих кислот [3—5], а также ряд оксалатных и тартратных комплексов оксомолибдена (VI) [6—9], поэтому в качестве монодентатных лигандов были использованы F^{-} , Cl^{-} и Br^{-} -ионы, а бидентатных — Ox^{2-} и $Tart^{2-}$.

Экспериментальная часть и результаты

Комплексы $(MoO_2)_2$ Edta и $(MoO_3)_2$ Edta⁴ были получены по методикам, приведенным в [1,2]. Состав и константы образования продуктов взаимодействия комплекса $(MoO_2)_2$ Edta с X и Y (X=F⁻, Cl⁻, Br⁻; Y=Tart²-, Ox²-) в растворе были установлены спектрофотометрическим методом по методике, приведенной в [10], с использованием программы TRIANG [11] на ЭВМ СМ-4. рН 1,5 \div 1,8 в сериях растворов поддерживали хлорной кислотой, ионную силу μ =1,5—перхлоратом натрия. Оптическую плотность растворов измеряли на спектрофотометре СФ-26. Все используемые реактивы имели квалификацию «ч.» или «х. ч.».

Измерения оптической плотности в системах $(MoO_2)_2 Edta^4 - X$; у показали, что поглощение растворов с постоянной концентрацией комплекса $(MoO_2)_2 Edta^4 -$ не зависит от концентрации X или Y, что указывает на отсутствие взаимодействия в данных системах. В системах $(MoO_2)_2 Edta - X$, у наблюдается изменение оптической плотности растворов с увеличением концентраций лигандов X и Y. Кривые этих зависимостей приведены на рисунке. В системах $(MoO_2)_2 Edta - X$ на кривых имеются точки перегиба, что указывает на протекание нескольких последовательных процессов. Оптическая плотность изменяется при значениях $C_X^0 \rightarrow C_{(MoO_2)_2}^0 Edta$, где $C_X^0 - oбщая$ концентрация лиганда X, $C_{(MoO_2)_2}^0 Edta$, что позволяет принять равновесную концентрацию лиганда равной общей, т. е. $[X] = C_X^0$. При обработке зависимости оптической плотности от C_X^0 исходили из возможности присоединения к каждому центральному атому Mo^{VI} в комплексе $(MoO_2)_2 Edta$ двух

монодентатных лигандов. Обработка матриц оптической плотности по программе TRIANG для расчета числа поглощающих частиц подтвердила это предположение, т. е. число поглощающих частиц в системах (MoO₂)₂Edta—X равно трем. Расчеты также показали, что кривым 1—3 на рисунке отвечают уравнения вида:

$$\frac{(\bar{A} - A_0)}{(C_X^0)^5} = (A_1 - \bar{A}) \cdot K_1 + (A_3 - \bar{A}) (C_X^0)^8 \cdot K_3$$

$$0.5$$

$$0.5$$

$$0.75$$

$$0.75$$

$$0.75$$

$$0.75$$

$$0.75$$

$$0.75$$

$$0.75$$

$$0.75$$

$$0.75$$

$$0.75$$

$$0.75$$

$$0.75$$

$$0.75$$

$$0.75$$

$$0.75$$

$$0.75$$

$$0.75$$

$$0.75$$

$$0.75$$

$$0.75$$

$$0.75$$

$$0.75$$

$$0.75$$

Рис. Зависимость оптитеской плотности растворов систем (MoO₂)₂Edta — X: Y от концентраций X и Y. 1 — X = F⁻, λ =225, pH=1.8, $C_{\rm ML}^0$ =2·10⁻⁴, 2—X=Ci⁻, λ =232, pH=1.5, $C_{\rm ML}^0$ =4·10⁻⁵, 3—X=Br⁻, λ =270, pH=1.5, $C_{\rm ML}^0$ =2·10⁻⁴, 4—X=Ox²⁻, λ =252, pH=1.5, $C_{\rm ML}^0$ =1·10⁻⁴, 5—X=Tart²⁻, λ =245, pH=1.5, $C_{\rm ML}^0$ =2·10⁻⁵, t=25°C.

Следовательно, с увеличением концентрации X с комплексом (MoO₂)₂Edta связываются сначала две частицы X с образованием комплекса (MoO₂X)₂Edta по реакции:

$$(MoO2)2Edta + 2X = (MoO2X)2Edta, (2)$$

а затем еще две частицы X по реакции:

$$(MoO2)2Edta + 4X = (MoO2X2)3Edta$$
 (3)

 K_1 и K_2 в уравнении (1) представляют собой константы равновесия реакций (2) и (3). Их значения равны $(2,3\pm0,3)\cdot 10^2$ и $(2,7\pm0,3)\cdot 10^3$; $6,1\pm0,2$ и $8,1\pm0,2$; $5,5\pm0,3$ и $4,3\pm0,3$ для $X=F^-$, CI^- и Br^- , соответственно. Константы образования рассчитаны с учетом константы образования $(MoO_2)_2$ Edta [1] и равны $(3,2\pm0,9)\cdot 10^{20}$ и $(3,8\pm0,9)\cdot 10^{20}$ для F^- , $(8,6\pm0,9)\cdot 10^{20}$ и $(1,1\pm0,7)\cdot 10^{20}$ для CI^- , $(7,6\pm0,6)\cdot 10^{20}$ и $(6,1\pm0,7)\cdot 10^{20}$ для Br^- .

В случае систем $(MoO_2)_2$ Edta—Y оптическая плотность растворов с увеличением C_Y^0 систематически увеличивается и достигает предельного эначения. На кривых зависимости оптической плотности от общих концентраций C_Y^0 (кр. 3 и 4) имеются точки перегиба при соотношении концентраций компонентов $(MoO_2)_2$ Edta: Y=1:2. Обработка ре-

зультатов измерений оптической плотности по программе TRIANG дала число поглощающих частиц в растворах, равное двум. Все это указывает на присоединение двух частиц Y к одной частице комплекса (MoO₂)₂Edta. В системе (MoO₂)₂Edta—Y общая концентрация С^о соизмерима с общей концентрацией комплекса (MoO₂)₂Edta, и если предположить одностадийный процесс, то реакция присоединения Y к (MoO₂)₂Edta будет иметь вид:

$$(MoO2)2Edta + 2Y = (MoO2Y)2Edta, (4)$$

а константа равновесия этой реакции будет определяться соотношением

$$K = \frac{(\overline{A} - A_0) \cdot (A_1 - A_0)^2 \left(1 + \sum_{n=1}^{2} K_{H_n Y}^{-1} [H^+]^n\right)^{-1}}{(\overline{A} - A_0) [(A_1 - A_0) C_Y^0 - 2 (\overline{A} - A_0) C_{(MoO_0)_0 Edta}^0]},$$

полученным на основе уравнений материального баланса по закону действующих масс ($K_{\rm H,Y}^{-1}$ и $K_{\rm HY}^{-1}$ — первая и вторая константы диссоциации Y). Расчеты показали, что величина K сохраняет постоянство во всем диапазоне концентраций $C_{\rm Y}^0$ ($0 < C_{\rm Y}^0 < 4 \cdot 10^{-3}$) и не зависит от длины волны. $K = (1.6 \pm 0.3) \cdot 10^{15}$ для Ox^{2-} и $(1.3 \pm 0.4) \cdot 10^{15}$ для $Tart^{2-}$.

Таким образом, действительно, центральный атом Mo^{VI} в комплексе $(MoO_3)_2$ Edta инертен к присоединению других лигандов. С другой стороны, к центральному атому Mo^{VI} в комплексе $(MoO_2)_2$ Edta присоединяется одна частица би- или две частицы монодентатного лиганда с увеличением координационного числа центрального атома до семи, что согласуется с результатами работы [12].

μ–ԷՔԻԼԵՆԴԻԱՄԻՆՏԵՏՐԱԱՑԵՏԱՏԱՅԻՆ ԴԻՕԿՍՈՄՈԼԻՔԴԵՆԻ (VI) ՓՈԽԱԶԴԵՑՈՒԹՅՈՒՆԸ ՈՐՈՇ ՄՈՆՈ– ԵՎ ԲԻԴԵՆՏԱՅԵՆ ԼԻԳԱՆԴՆԵՐԻ ՀԵՏ ՋՐԱՑԻՆ ԼՈՒԾՈՒՅԹՆԵՐՈՒՄ

2 C. Vansul, u. sw. spertul L L. v. rsusingu

Սպեկտրոֆոտոմետրիկ մեթոդով ուսումնասիրվել են ջրային լուծույթներում Mo^{VI}Edta⁴⁺ Br⁻, Cl⁻ և F⁻ կոմպլեքսի փոխազդեցությունները իոնների և թրթնչկաթթվի ու գինեթթվի հետ։ Հաստատված է խառը լիգանդային կոմպ-լեքսների գոյացումը հետևյալ կազմով՝ (MeO₂Y)₂Edta, որտեղ Y=Tart²⁻ Ox²⁻ ·(MoO₃)₂Edta⁴⁻ կոմպլեքսի մեջ կենտրոնական Mo^{VI} ատոմը ի վիճակի չէ կոորդինացնել մյուս լիգանդները, ինչը կապված է նրանում ազատ օրբիտալների րացակայության հետ։

Որոշված են ստացված կոմպլեքսների գոլացման Հաստատունները։

INTERACTION OF 1-ETHYLENEDIAMINOTETRAACETATE DIOXOMOLYBDENUM (VI) WITH CERTAIN MONO AND BIDENTATE LIGANDS IN AQUEOUS SOLUTIONS

Z. Sh. MHOYAN, A. Ya. FRIDMAN and N. M. DYATLOVA

Interaction of complexes between Mo^{V1} —Edta⁴⁻ Br⁻ Cl⁻ and F lons and oxalic and tartaric acids, in aqueous solutions has been studied by spectrophotometry. Formation of mixed ligand complexes $(MoO_2X)_2$ Edta, $(MoO_2X)_2$ Edta $(x=Br^-, Cl^-, Fe^-)$ and $(MoO_2Y)_2$ Edta $(Y=Tart^{2-}, O^{2-})$ has been established.

Because of the absence of vacant orbitals the central Mo^{VI} atom in the complex (MoO₃)₂ Edta⁴⁻ is not able to bind the other mono or bidentate ligands.

The equilibrium and formation constants of the obtained complexes have been determined.

ЛИТЕРАТУРА

- 1. Мгоян З. Ш., Фридман А. Я., Дятлова Н. М. ЖНХ, 1985, т. 30, № 9, с. 2277.
- 2. Park J. J., Glick M. D., Hoard J. L. J. Amer. Chem. Soc., 1969, vol. 91, p, 301.
- 3. Griffith W. P., Wickins T. D. J. Chem. Soc. 1968, A, p. 400.
- Порай-Кошиц М. А., Атовмян Л. О. -- Кристаллохимия и стереохимия координационных соединений молибдена. М., Наука, 1974, с. 101.
- 5. Splvack B., Dorl Z. Coord, chem. rev., 1975, vol. 17, p. 99.
- 6. Атовиян Л. О., Бокий Г. Б. ЖСХ, 1963, т. 4, № 4, с. 576.
- Cotton F. A., Morehous Sh M., Wood J. S. Inorg. chem., 1964, vol. 3, № 11, p. 1603.
- Mikešova M., Bartušek M. Coll. Czech. Chem. Commun., 1978, vol. 43, № 7, p. 1867.
- 9. Cavaleiro A. M. V., Gil V. M. S., Pedrosa de Jesus J. D., Gillard R. D., Williams P. A. Trans. Met. Chem. 1984, vol. 9, p. 62.
- Россотти Ф., Россотти Х. Определение констант устойчивости и других констант равновесня в растворах. М., Мир. 1965, с. 329.
- 11. Хартли Ф., Бергес К., Олкок Р. Равновесия в растворах. М., Мир, 1983, с. 313.
- 12. Syamal A., Maurya M. R. Trans. Met. Chem., 1985, vol 10, № 2, p. 45.

Армянский химический журнал, т. 39, № 4, стр. 237—242 (1986 г.)

УДК 542.94.459.547.22

НОВЫЙ СИНТЕЗ ДИПРОПАРГИЛ- и ДИ (2-БРОМ-2-ПРОПЕНИЛ) АЦЕТАЛЕЙ В УСЛОВИЯХ МЕЖФАЗНОГО КАТАЛИЗА

А. Е. ҚАЛАЙДЖЯН, С. Г. АКОПЯН и К. А. КУРГИНЯН Армянский филнал ВНИИ «ИРЕА», Ереван Поступило 22 III 1985

Получен ряд дипропаргилацеталей дегидрогалогенированием ди (2-бром-2-пропения) и ди (2,3-дибромпропил) ацеталей формальдегида, ацетальдегида, пропионового, масляного, изомасляного, бензойного, фурфурилового и пропиолового альдегидов водным раствором гидроокиси натрия или калия в условиях межфазного катализа. В качестве чатализатора использован хлорид диметилалкил (C_{10} — C_{18}) бензиламмония (катамин АБ). Табл. 2, библ. ссылок 6.

Ранее нами был разработан способ получения 2-бутиниловых эфиров дегидрохлорированием 3-хлор-2-бутениловых эфиров в условиях межфаэного катализа [1]. В продолжение этих исследований найдено, что этот метод может быть успешно применен и для получения дипропаргилацеталей из ди (2-бром-2-пропенил) - или ди (2,3-дибромпропил) ацеталей.

Из литературных данных известно, что синтез дипропаргилацеталей осуществляют взаимодействием пропаргилового спирта и альдегидов в

присутствии кислых катализаторов [2, 3].

Нами установлено, что взаимодействие ди (2-бром-2-пропенил) - и ди (2,3-дибромпропил) ацеталей с водными растворами едкого натра или кали в присутствии каталитических количеств катамина АБ приводит к образованию дипропаргилацеталей с довольно высокими выходами.

RCH(OCH₃CHBrCH₃Br)₂
$$-HBr$$
 RCH(OCH₃C \equiv CH)₃ RCH(OCH₃C \equiv CH)₃ RCH(OCH₃C \equiv CH)₃ R=H, CH₃, C₃H₅. μ -C₃H₄, μ 30-C₃H₇, C₆H₅.

Определенный практический интерес представляет синтез дипропартилацеталя пролиолового альдегида по схеме:

$$CH_2BrCHBrCH(OCH_2CBr=CH_2)_2 \xrightarrow{-4HBr} HC=CCH(OCH_2C=CH)_3$$
 жин
$$CH_3=CBrCH(OCH_2CBr=CH_2)_2 \xrightarrow{-3l(Br)} HC=CCH(OCH_2C=CH)_2$$

Исходные (2,3-дибромпропил) ацетали получены впервые по известной методике [2, 4], за исключением 2,3-дибромпропилформаля. Последний с удовлетворительным выходом удалось получить нагреванием 2,3-дибромпропанола с параформальдегидом при 130—140°.

Нами разработан также способ получения ди (2-бром-2-пропенил)ацеталей. Хроматографические исследования показали, что дегидрогалогенирование ди (2,3-дибромпропил) ацеталей протекает через стадию образования ди (2-бром-2-пропенил) ацеталей; при этом отщепление первых двух молекул бромистого водорода происходит значительно легче, чем двух остальных.

Это обстоятельство позволило в определенных условиях выделить ди (2-бром-2-пропенил) ацетали в чистом виде.

В табл. 1 приведены физико-химические константы впервые полученмых ди (2-бром-2-пропенил) ацеталей. ди(2,3-Дибромпропил)формаль. В колбу, снабженную мешалкой, термометром и нисходящим холодильником, помещают 141,6 г (0,65 моля) 2,3-дибромпропанола, 9 г (0,3 моля) параформальдегида. Реакционную смесь нагревают при 130—140° 2—3 ч (до выделения 5—6 г воды). Смесь промывают горячей водой 3—4 раза, сушат над Na₂SO₄. Перегонкой получают 92 г (68°/₀) ди(2,3-дибромпропил)формаля с т. кип. 180—190°/1 мм, про 1,5615, d²⁰ 2,1180.

ди (2,3-Дибромпропил) ацеталь уксусного альдегида. В колбу, снабженную мешалкой, термометром и обратным холодильником, помещают 229 г (1,05 моля) 2,3-дибромпропанола и 10 г б/в хлористого кальция. Смесь перемешивают в течение 10 мин при комнатной температуре, затем охлаждают до +3—5° и добавляют 22 г (0,5 моля) уксусного альдегида, полдерживая температуру реакционной смеси не выше 15—20°. Перемешивание при комнатной температуре продолжают 25—30 ч. Промывают 3—4 раза водой, растворяют в 30 мл хлороформа и сушат над Na₂SO₄. Растворитель и непрореагировавший 2,3-дибромпропанол отгоняют, остаток перегоняют в вакууме. Получают 150 г (65%) ди (2,3-дибромпропил) ацеталя уксусного альдегида с т. кип. 160—180°/3 мм, п²⁰ 1,5420, d²⁰ 2,0072.

Аналогично из 229 г (1,05 моля) 2,3-дибромпропанола, 10 г б/в хлористого кальция, 24 г (0,5 моля) пропионового альдегида получают 119 г (50%) дн (2,3-дибромпропил) ацеталя пропионового альдегида с т. кип. $160-180^{\circ}/5$ мм, n_D^{20} 1,5478, d_D^{20} 1,9577.

Аналогично из 229 ε (1,05 моля) 2,3-дибромпропанола, 10 ε б/в хлористого кальция и 36 ε (0,5 моля) μ -масляного альдегида получают 210 ε (50%) ди (2-3-дибромпропил) ацеталя пропионового альдегида с т. кип. 150—160°/5 μ M, n_{\star}^{30} 1,5331, d_{\star}^{20} 1,8214.

Аналогично из 229 г (1,05 моля) 2,3-дибромпропанола, 10 г б/в хлористого кальция и 36 г (0,5 моля) изо-масляного альдегида получают 200 г (41%) ди (2,3-дибромпропил) ацеталя изо-масляного альдегида с т. кип. $145-155^{\circ}/5$ мм, n_D^{20} 1,5220, d_D^{20} 1,7100.

Аналогично из 229 г (1,05 моля) 2,3-дибромпропанола, 10 г б/в хлористого кальция, 53 г (0,5 моля) бензальдегида получают 53 г (20%), дн (2,3-дибромпропил) ацеталя бензальдегида. Ацеталь не выделен в чистом виде, т. к. он разлагается при перегонке. В таком виде он был использован в дальнейших синтезах.

Аналогично из 229 г (1,05 моля) 2,3-дибромпропанола, 10 г б/в хлористого кальция, 48 г (0,5 моля) фурфурола получают 51 г (20%) ди-(2,3-дибромпропил) ацеталя фурфурилового альдегида (фурфурол добавлен при комнатной температуре).

Аналогично из 151 г (1,1 моля) 2-бромаллилового спирта, 10 г б/в хлористого кальция и 108 г (0,5 моля) 2,3-дибромпропионового альдегида получают 107 г (45%) 2-бром-2-пропенилацеталя 2,3-дибромпропионового альдегида с т. кип. 160—175°/5 мм, п²⁰ 1,5581, d²⁰ 1,9886.

Общая методика получения ди (2-бром-2-пропенил) ацеталей. В колбу, снабженную мешалкой, термометром и обратным холодильником, помещают 12 г (0,3 моля) гидроокиси натрия, 60 мл воды, 4 г катамина АБ и 0,1 моля ди (2,3-дибромпропил) ацеталя. Реакционную смесь нагревают при перемешивании на водяной бане при 90—95° 5 ч, охлаждают, дважды экстрагируют хлороформом и сушат над Na₂SO₄. Растворитель отгоняют и перегонкой получают ди (2-бром-2-пропенил) ацетали (табл. 1).

Таблаца / ди(2-Бром-2-пропения) вцетвян RCH(OCH₂CBr = CH₂)₂

The same	28	Т. кип.,	d ²⁰	7.201	Ha	йдено	. %	Выч	нслен	0, %
R	Выход;	°С мм	a-	n _D 20J	С	Н	N	С	Н	N
- Н	88	82—86/1	1,6300	1,5100	29,21	3,60	55,62	29,39	3,52	55,88
CH ₃	80	103-105/5	1,5777	1,5055	31.91	4,28	52,96	32,03		53,27
C _a H ₅	82	90-95/5	1,4640	1,4971	34,50	4,60	51,00	34,41		50,89
и-C ₃ H ₁	94	110-112,2	1,4476	1,4962	36,28	5,13	48,85	36,61	4,91	48,72
430-C3H1	89	112-115/2	1,4262	1,4930	36,40	4.72	48,65	36,61	4,91	48,72
CH ₂ =CBr	60	110-115/5	1,8066	1,5415	26,85	2,56	62,00	27,65		61,32
· C _e H _s	81	145-155/5	1,5038	1,5510	43,45	4,23	44.61	43, 13		44,14
	60	145-155/3	1,5188	1,5300	37,78	3,81	45,10	37,53	3,44	45,40

Аналогично из 6 г (0,15 моля) гидроокиси натрия, 40 мл воды, 3 г катамина АБ и 0,1 моля ди(2-бром-2-пропенил) ацеталя 2,3-дибромпропионового альдегида получают ди(2-бром-2-пропенил) ацеталь 2-бромпропеналя (табл. 1).

ди (2,3-Дибромпропил) ацетали бензальдегида и фурфурилового альдегида в реакциях дегидрогалогенирования использованы без перегонки после удаления непрореагировавшего 2,3-дибромпропанола.

Общая методика получения дипропаргилацеталей. В колбу, снабженную мешалкой, термометром и обратным холодильником, помещают 28 г (0,7 моля) гидроокиси натрия, 30 мл воды, 5 г 50% водного раствора катамина АБ, 1 г стабилизатора НГ-22-46 и 0,1 моля ди (2-бром-2-пропенил) ацеталя. Реакционную смесь перемешивают при 115—130°. Обратный холодильник заменяют нисходящим, соединенным с 15—20 см дефлегматором. С водяным паром отгоняют дипропаргилацеталь, добавляют хлористый натрий, органический слой отделяют, сушат над Na₂SO₄ и перегоняют.

Из 40 г (1 моль) гидроокиси натрия или 56 г (1 моль) гидроокиси калия, 42 мл воды, 8г 50% водного раствора катамина АБ и 49 г (0,1 моля) ди (2,3-дибромпропил) ацеталя масляного (или изо-масляного) альдегида получают 80—82% дипропаргилацеталя масляного (или изо-масляного) альдегида.

Полученные дипропаргилацетали, их константы и условия реакции приводены в табл. 2.

Дипропаргилацеталь пропиолового альдегида. В колбу, снабженную мешалкой, термометром, капельной воронкой и нисходящим холодильником, соединенным с 15 см дефлегматором, помещают 40 г (1 моль) гидроокиси натрия, 42 мл воды, 8 г катамина АБ и 2 г нитрозодифениламина. К нагретой до 120° реакционной смеси при перемешивании прикапывают 47,2 г ди (2-бром-2-пропенил) ацеталя 2,3-дибромпропионового альдегида или 39 г (0,1 моля) ди (2-бром-2-пропенил) ацеталя 2-бромпропеналя. Азеотропной перегонкой с водой отгоняют 8,5 г жидкости. Добавляют хлористый наприй, органический слой отделяют и сущат над Na₂SO₄. Перегонкой получают 6 г (40%) дипропартилацеталя пропиолового альдегида с т. кип. 68—72°/5 мм, n₂° 1,4648, d²⁰ 1,0028.

Дипропаргилацетели RCH(OCH₂C≡CH)₂

Таблица 2

перемеши- вання, ч	Выход,	Т. кип., "С/мм	n ²⁰	d ₄ ²⁰	Литера- тура
-120 1	82	60-62/10	1,4470	0,9917	2
3,5-4	84	64-66/10	1,4472	0,9729	3,4
120 1,5—2	86	70—72/5	1,4490	0,9566	5
120 1,5—2	84	7173/1	1,4470	0,9344	5
120 1.5—2	90	58-60/5	1,4479	0,9310	5,6
-130 5	50	118—122/3	1,5020	1,0076	3
30—40 мин	75	100—105/5	1,4941	1,0951	
	-120 1 3,5-4 -120 1,5-2 -120 1,5-2 -120 1,5-2 -130 5	-120 1 82 3,5-4 84 -120 1,5-2 86 -120 1,5-2 84 -120 1,5-2 90 -130 5 50	-120 1 82 60-62/10 3.5-4 84 64-66/10 -120 1,5-2 86 70-72/5 -120 1,5-2 84 71-73/1 -120 1,5-2 90 58-60/5 -130 5 50 118-122/3	-120 1 82 60-62/10 1,4470 3.5-4 84 64-66/10 1,4472 -120 1,5-2 86 70-72/5 1,4490 -120 1,5-2 84 71-73/1 1,4470 -120 1,5-2 90 58-60/5 1,4479 -130 5 50 118-122/3 1,5020	-120 1 82 60-62/10 1,4470 9,9917 3,5-4 84 64-66/10 1,4472 0,9729 -120 1,5-2 86 70-72/5 1,4490 0,9566 -120 1,5-2 84 71-73/1 1,4470 0,9344 -120 1,5-2 90 58-60/5 1,4479 0,9310 -130 5 50 118-122/3 1,5020 1,0076

[•] Из реакционной массы выделяют экстрагированием эфиром.

Чистота всех полученных ди (2-бром-2-пропенил) - и дипропаргиловых ацеталей проверялась методом ГЖХ на хроматографе МХП-72 с катарометром (колонка 1,5 м, жидкая фаза—апиезон 5% на хромосорбе).

В ИК спектрах полученных дипропаргилащеталей имеются поглощения в областях 2115, 2125 cm^{-1} , характерные для монозамещенной ацетиленовой группировки, и 1080, 1110 cm^{-1} для СОС группировок, а в ИК спектрах ди (2-бром-2-пропенил) ацеталей—1645 cm^{-1} , характерные для двойной связи, и 1085 cm^{-1} для СОС группировок.

ԴԻՊՐՈՊԱՐԳԻԼ– ԵՎ ԴԻ(2–ԲՐՈՄ–2–ՊՐՈՊԵՆԻԼ) ԱՑԵՏԱԼՆԵՐԻ ՆՈՐ ՍԻՆԹԵԶ Ա. Ե. ԿԱԱՅԶՑԱՆ, Ս. Գ. ՀԱԿՈՐՑԱՆ և Կ. Ա. ԿՈՒՐՂԻՆՑԱՆ

Օտացվել են մի շարք դիպրոպարդիլ ացհտալներ դի(2-բրոմ-2-պրոպենիլ)և դի(2,3-դիբրոմպրոպիլ)ացհտալների դեհիդրոհալոգենացմամբ հիմքերի չրային լուծույթներում միջֆազային կատալիզատորների՝ դիմեթիլալկիլ (C₁₀—C₁₈) բենզիլամոնիումջլորիդի ներկայությամբ։

A NOVEL SYNTHESIS OF DIPROPARGYL AND DI(2-BROMO-2-PROPENYL)ACETALS

A. Ye. KALAIJIAN, S. O. HAKOPIAN and K. A. KURGHINIAN

Several dipropargyl acetals have been obtained by dehydrohalogenation of di(2-bromo-1-propenyl) and di(2,3-dibromopropyl)acetals in aqueous alkaline solutions in the presence of interphase transfer catalysts, such as dimethylalkyl ($C_{10}-C_{18}$) benzylammonium chloride.

ЛИТЕРАТУРА

1. Калайджян А. Е., Акопян С. Г., Аракслова С. Г., Кургинян К. А., Чухаджян Г. А. — Арм. хим. ж., 1982, т. 35, № 6, с. 402.

2. Пат. 2563325 (1951) США. — С. А., 1952, vol. 46, p. 3063.

3. Шостаковский М. Ф., Власов В. М., Греновский П. И., Ланванген Г. Р., Голованов Н. И. — ЖОрХ, 1966, т. 2, с. 957.

4. Коршак В. В., Сладков А. М., Махсудов А. Г. — ВМС, 1964, т. 6, с. 1570.

Шостаковский М. Ф., Власов В. М., Балезина Г. Г. — ЖОрХ, 1966, т. 2, с. 2257.

б. Шостаковский М. Ф., Мирсков Р. Г., Чернов В. Г., Власов В. М. — ЖОрХ, 1968, т. 4, с. 1161.

Армянский химический журнал, т. 39, № 4. стр. 242-246 (1986 г.)

УДК 547.853.5.07

СИНТЕЗ И ПРЕВРАЩЕНИЯ ПОЛИЭДРИЧЕСКИХ СОЕДИНЕНИИ

х. синтез 2-замещенных 5,7-диметил-1,3-диазаадамантан-6-онов

Г. С. СААКЯН, Г. Л. АРУТЮНЯН, Ц. Е. АГАДЖАНЯН и Р. В. ПАРОНИКЯН

Институт тонкой органической химин им. А. Л. Миджояна АН Армянской ССР, Ереван

Поступило 15 III 1985

Взавмодействием 1,5-диметил-3,7-дназабицикло(3.3.1) вонан-9-она с различными альдегидами и кетонами синтезированы соответствующие 2-замещенные 5,7-диметил-1,3-дназавадамантан-6-оны.

Табл. 1, бябл. ссылок 1.

Известно, что при взаимодействии 1,5-дифенил-3,7-диазабицикло-(3.3.1) нонан-9-она с некоторыми альдегидами и кетонами получаются 2за мещенные 5,7-дифенил-1,3-диазаадамантан-6-оны [1].

С целью выявления способности к конденсации 1,5-диметил-3,7-диазабицикло (3.3.1) нонан-9-она (I) с альдегидами и кетонами, синтеза различных 2-замещенных 5,7-диметил-1,3-диазаадамантан-6-онов и изучения их биологических овойств нами I введен в реакцию с различными альдегидами и кетонами. При этом использованы как алифатические, так и ароматические и гетероциклические альдегиды, моносахариды, а также алифатические и алициклические кетоны.

Взаимодействием I с бензальдепидом, ароматическими альдегидами, содержащими различные группы в орто-, мета- и пара-положениях, а

также с дизамещенными ароматическими альдегидами получен ряд 5,7диметил-1,3-диазаадамантан-6-онов, содержащих во втором положении
как незамещенное (II), так и моно-(III—XII) и дизамещенное бензольные кольца (XIII—XV). При этом наряду с соединениями, содержащими
различные группы электроакцепторного и электродонорного характера,
удалось получить и 2-арилзамещенный 1,3-диазаадамантан-6-он (XII),
содержащий в пара-положении бензольного кольца цитотоксическую
бис(β-хлорэтил) аминную группу. Введением в аналогичную реакцию конденсации моносахаридов—альдопентозы (Д-ксилоза) и альдогексовы
(Д-галактоза)—синтезированы 5,7-диметил-1,3-диазаадамантан-6-оны
(XVI, XVII), содержщие во втором положении остатки четырехатомногоили пятиатомного спирта. В литературе отсутствуют данные о конденсации 3,7-диазабицикло (3.3.1) нонанов с моносахаридами и получении подобного типа производных 1,3-диазаадамантана.

II. R=R'=H; III. R=H, R'=o-OH; IV. R=H, R'=o-F; V. R=H, R'=M-NO₂; VI. R=H, R'=n-Cl; VII. R=H, R'=n-Br; VIII. R=H, R'=n-F; IX. R=H, R'=n-OH; X. R=H, R'=n-OCH₃; XI. R=H, R'=n-N(CH₃)₂; XII, R=H, R'=n-N(CH₂Cl)₂; XIII. R=o-OH, R'=n-OH; XIV. R=M-OCH₃, R'=n-OH; XV. R=2-OH, R'=5-Br; XVI. n=0; XVII. n=1.

С другой стороны, взаимодействие I с пропионовым альдегидом, гетероциклическими альдегидами (пиридин-3-альдегид, 2,2-диметилтетрагидропиран-4-альдегид, оротовый альдегид, индол-3-альдегид), алифатическими (ацетон, диэтилкетон, ацетоуксусный эфир) и алициклическими кетонами (циклопентанон, циклогексанон) привело соответственно к 2-замещенным (XVIII—XXII), 2,2-дизамещенным (XXIII—XXV) или 2-спироциклическим 5,7-диметил-1,3-диазаадамантан - 6 - онам (XXVI, XXVII).

XVIII. R=H, R'=C₃H₅; XIX. R=H, R'= $-\frac{N}{2}$; XX. R=H, R'= $-\frac{N}{2}$;

XXI.
$$R=H$$
, $R'=O=$

H

XXII, $R=H$, $R'=$

H

 H

XXIII. $R=R'=CH_3$; XXIV. $R=R'=C_2H_5$; XXV. $R=CH_3$, $R'=CH_2COOC_2H_5$; XXVI. n=1; XXVII. n=2,

Показано, что I остается неизмененным при нагревании его растворов даже при более высоких температурах, чем при вышеуказанных реакциях конденсации, т. е. кетонная группа I, по-видимому, из-за стерических препятствий не вступает в реакцию с NH группами другой молекулы. Он не вступает в реакцию конденсации и с менее экранирован-

ной кетонной группой камфоры.

Строение синтезированных соединений доказано элементным анализом, ИК и ПМР спектрами, а некоторых также масс-спектрами (II, XII, XIX, XXI, XXV—XXVII). В масс-опектрах указанных соединений имеются пики молекулярных ионов. В ИК спектрах II—XXVII имеются поглощения С=О кетонной группы в области 1690-1710 см-1, а также поглощения, соответствующие характеристическим группам остатка иопользованного альдегида или кетона. С=С аром. в области 1575-1610 (II-XV, XIX, XXI, XXII), OH-3290-3510 (III, IX, XIII-XVII). С=О сл. эфир-1720 (XXV), С=О амид.-1670-1680 (XXI); NO2-1380. 1530 см-1 (V). В ПМР спектрах имеются сигналы протонов 4CHo-N прупп в виде мультиплета в области 2,3-3,85 (II-IX, XI, XII. XV, XVIII—XXI) или 3,9—5,3 м. д. (XXII) или в виде двух дублетов (АВ квартет) в области 2,54-2,9 (4Hax) и 3,45-3,8 м. д. (4Heg) (XXIII, XXV-XXVII), 2СН3 групп в виде синглета в области 0.68-1.0 (XXIII, XXV—XXVII) или двух синглетов в области 0,65—1,2 (II—IX. XI. XII, XV, XVIII—XXI) или 1,35—1,45 м. д. (XXII), ароматических протонов в виде мультиплета в области 6,5-8,3 (II-IX, XI, XII, XV) или 7,2—9,0 м. д. (XIX, XXII), протона NCHN группы в виде синглета в области 4,9-5,3 (II-IX, XI, XII, XV, XIX, XXI, XXII), 4,3 (XVIII) или 3,7 м. д. (XX). Чистота синтезированных соединений установлена TCX.

Изучено лечебное действие соединений II, XII, XIX, XX, XXII, XXVI, XXVII на модели генерализованной стафилококковой инфекции белых мышей, вызванной золотистым стафилококком штамм 4-О. Введение этих соединений внутрь здоровым животным показало, что они малотоксичны—хорошо переносятся при однократном введении в дозах 1500—2000 мг/кг, в зависимости от соединения. Соединения XIX и XX в дозах 800 или 1500 мг/кг при 1-кратном введении внутрь достоверно продлевают жизнь зараженных животных на 20—30%. Остальные соединения не оказывают влияния на продолжительность жизни зараженных животных по сравнению с контрольными—нелеченными.

Экспериментальная часть

ИК спектры сняты в вазелиновом масле на спектрометре UR-20, ПМР спектры (II—XV, XIX, XX, XXV—XXVII в CDCl₃; XVI, XVII в D_2O ; XVIII—XXI, XXIII в пиридин- D_5 ; XXI, XXIV в ДМСО- D_6 ; XXII в CF_3COOH)—на приборе «Varian T-60» с использованием в качестве внутреннего стандарта ТМС, масс-спектры—на масс-спектрометре МХ-1320. ТСХ проведена на силуфоле UV-254 в системах: n-пропанол—вода, 7:3 (A); n-бутанол—уюсусная кислота—вода, 3:1:1 (Б); гексан—ацетон, 2:1 (В); n-пропанол—вода, 1:1 (Г). Проявление—парами йода.

12	2-342	СЩ	C.IIIBIC 0,1-7(11)		4110300	fewqu10	111-0-01		-	
- lile	Время реакции (ч).	39.	Т. пл, °С (раствори- тель пере-	R _r	Ha_	йдено,	%	Выч	ислецо	- %
Сосдине-	раствори- тель	Выход,	кристалли-	(система)	С	н	N	С	н	N
II	4, этаноя	74	202—203 (этанол)	0,61 (A)	75,27	7,40	11,00	75,00	7.42	10,93
111	5, этанол	88	164—166 (этанол)	0,45 (Γ)	70,00	7,40	10,01	70,58	7,35	10,29
IV	6, этаноя	74	168—170 (этанол)	0,75(A)	70,15	6,92	10,27	70,07	6.96	10,21
V	5. этанол	89	150—151 (этанол)	0,75(A)	63,73	6,00	14,00	63,78	6,31	13,95
VI	2, метанол	88	205—206 (метанол)	0,55 (Γ)	66,70	6,40	10,01	66,20	6,55	9,65
VII	3, этанол	98	215—217 (этанол)	0,50(Γ)	57,18	6,00	8,72	57,31	5,67	8,35
VIII	10, этанол	91	167—168 (этанол)	0,50(Г)	69,85	7,10	10,70	70,07	6,93	10,21
IX	10, этанол	88	228—230 (этанол)	0,45(Γ)	70,63	7,07	10,28	70,58	7,35	10,29
x	2, этанол	74	163—164 (этанол)	0,50(Γ)	72,08	7,39	9,60	71,32	7,69	9,79
ΧI	10, этанол	49	210—211 (этанол)	G,62 (A)	72,70	8,50	14,50	72,24	8,36	14,04
XII	4, бутанол	84	162—164 (петр. эфир)	0,64 (Б)	60,28	6,90	10,71	60,60	6,82	10,60
XIII	4, этанол	83	227—229 (этанол)	0,75 (A)	67,05	6,65	9,80	66,66	6,93	9,72
XIV	2, этанол	69	224—225 (этанол)	0,65(Γ)	68, 12	7,51	9,63	67.55	7,28	9,27
χV	4, этаноя	42	200—202 (этанол)	0,50(Γ)	55,05	5.70	7.84	54,98	5,41	7,97
XVI	5, этанол	95	208—209 (этанол)	0,36(A)	55,90	7.64	9,09	56,13	8,02	9,09
XVII	10, этанол	75	248—250 (80% этанол)	0,40(A)	55,06	7,80	8,90	54,59	7,87	8,48
XVIII	5, этанол	91	64—66 (эфир)	0,43 (A)	69,04	9,57	12,84	69,20	9,60	13,46
XIX	4, этанол	62	180—181 (гексан)	0,63(A)	71,13	7,10	16,40	70,31	7,03	16,41
xx	4, этанол	59	143-144 (петр. эфир)	0,70 (A)	69,65	9.60	9,20	69,89	9,59	9,59
XXI	10, нзопро-	73	300 —301 (вода)	0,45(B)	58,96	5,74		58,91	6,02	19,33
XXII	1, бутанол	75	308—309 (диоксан)	0,38(Б)	73,90	6,52	13,60	73,47	6,80	14,29
XXIII	5, ацетон	74	166—16 ⁷ (ацетон)	0,47(A)	69,30	9,55	13,40	69,20	9.60	13,46
XXIV	5, этанол	89	166—167 (зап. амп.,	0,40(A)	71,30	10,02	11,40	71,18	10,16	11,86
xxv	8, этанол	40	ацетон) 96—98	0,55 (A)	63.81	8,30	10,60	64,28	8,57	10,00
xxvı	4, этанол	68	(эфир) 110—111	0,45(A)		9,70	11,40	71,79	9,40	11,96
XXVII	4, этаноя	73	(гексан) 104—105	0,53 (A)		9,60	10,89	72,58	9,68	11,29
	- 1		(гексан)					1		

2-Замещенные 5,7-диметил-1,3-диазаадамантан-6-оны (II—XXVII). Эквимольные количества I (или смеси дигидрохлорида I и 2 молей триэтиламина) и альдегида или кетона в соответствующем растворителе кипятят до исчезновения I (TCX). После охлаждения фильтруют,, осадок промывают холодным метанолом или ацетоном и перекристаллизовывают (II—XI, XIII—XVII, XXI—XXIII) или же растворитель удаляют, остаток перекристаллизовывают сразу же (XVIII, XXIV, XXV) или после добавления воды и фильтрования (XII, XIX, XX, XXVI, XXVII, табл.).

ՊՈԼԻԷԴՐԻԿ ՄԻԱՑՈՒԹՅՈՒՆՆԵՐԻ ՍԻՆԹԵԶ ԵՎ ♦ՈԽԱՐԿՈՒՄՆԵՐ

- X. 2-Sbquautiat 5,7-Aproppi-1,8-Apuquuaututuvsuv-6-Ausber uptobee
- 9. V. VUZUSUL, 9. L. ZUPPIPSPILSUL, 8. b. ALURULSUL L A. J. AUPPLISUL

1,5-Դիմեթիլ-3,7-դիազարիցկլո (3,3,1)նոճան-9-ոնի և տարբեր ալդե-Տիդների ու կետոնների փոխազդեցությամբ սինթեղված են համապատասխան 2-տեղակալված 5,7-դիմեթիլ-1,3-դիազաադամանաան-6-ոններ։

SYNTHESIS AND TRANSFORMATIONS OF POLYHEDRAL COMPOUNDS

X. SYNTHESIS OF 2-SUBSTITUTED-5,7-DIMETHYL-1,3-DIAZAADAMANTAN-6-ONES

G. S. SAHAKIAN, G. L. HARUTYUNIAN, Ts. Ye. AGHAJANIAN, and R. V. PARONIKIAN

The corresponding 2-substituted-5,7-dimethyl-1,3-diazaadamantan-6-ones have been synthesized by the interaction of 1,5-dimethyl-3,7-diazabicyclo(3.3.1)nonan-9-one and various aldehydes and ketones.

JUTEPATYPA

- 1. Vittory R. L., Settimj G., Gatta F., Sarti M., Chiavarelli S. Gazz. chim. ital., 1967, vol. 97, p. 1294.
- 2. Nelsen S. F., Hints P. I. J. Am. Chem. Soc., 1972, vol. 94, No. 20, p. 7.114.

КРАТКИЕ СООБЩЕНИЯ

УДК 541.127

ИЗУЧЕНИЕ РЕАКЦИИ ОКИСЛЕНИЯ УКСУСНОГО АЛЬДЕГИДА В ПРИСУТСТВИИ ДОБАВОК СН₃СО₃Н МЕТОДОМ ЭПР

Д. Г. ПЛРОНИКЯН, С. А. ЯН и И. А. ВАРДАНЯН Институт химической физики АН Армянской ССР, Ереван Поступило 28 V 1985

Исследования реакции окисления уксуюного альдегида в присутствии добавок CH_3CO_3H [1] показали, что CH_3CO_3H является инициатором реакции. В работе [2] нами изучена инициированная CH_3CO_3H реакция окисления уксусного альдегида и найден оптимальный режим получения CH_3CO_3H . В настоящей работе поставлена задача изучения методами ЭПР и математического моделирования реакции иниэкотемпературного газофазного окисления CH_3CHO в отсутствие и в присутствии добавок CH_3CO_3H . Методика эксперимента подобна описанной в работе [2]. Опыты велись при T=473K и $[CH_3CO_3H]_0=0,15$ об. %; $[CH_3CHO]_0=14$ об. %.

Предварительно экспериментально было установлено, что распад инициатора CH_3CO_3H в отсутствие CH_3CHO на поверхности реакционного сосуда сопровождается образованием пероксидных радикалов, выходящих с поверхности в объем. Концентрация их достигает $\sim 10^{12}$ част см⁻³. Гомогенный распад CH_3CO_3H в условиях настоящего эксперимента не приводит к за метному образованию радикалов [3, 4].

В реажции окисления СН₃СНО в отсутствие инициатора обнаружены СН₃СО₃Н и радикалы СН₃СО₃. В присутствии инициатора реакция окисления СН₃СНО заметно ускоряется. Максимальная скорость реакции ($W_{\rm max}$) увеличивается от 1,4·10¹⁶ до 2·10¹⁶ част.см⁻³·с⁻¹. Соответственно увеличиваются выход СН₃СО₃Н, радикалов СН₃СО₃ и расход СН₃СНО. Так, при τ =48 c (τ —время пребывания реакционной омеси в реакторе) он растет от 21 до 36% от исходного альдегида. Селективность по СН₃СО₃Н при малых степенях превращения сохраняется высокой—80—90%.

Математическое моделирование изученной реакции преследовало цель проверить наши представления об ускоряющем воздействии добавок СН₃СО₃Н на реакцию, обусловленном гетерогенным радикальным распадом ее. Ранее нами было проведено математическое моделирование реакции окисления СН₃СНО [5]. Был рассмотрен механизм реакции, учитывающий в качестве ведущих активных центров радикалы СН₃СО₃, и продукта, ответственного за гетерогенное разветвление цепей—СН₃СО₃Н. В настоящей работе использованы та же модель и те же значения констант скорости реакции. Уменьшены лишь значения констант скорости некоторых гетерогенных стадий в связи с тем, что поверхность

реакционного сосуда в дамном эксперименте отличалась от использованной в работе [5] (менее активна). Так, K_{3a} и K_{3b} уменьшены в 5 и 1,5 раза, соответственно. В таблице выписаны параметры, по которым проведено сравнение экспериментальных и расчетных результатов. Из таблицы, а также из сравнения кинетических кривых накопления радикалов СН₃СО₃, СН₃СО₃Н и расходования СН₃СНО, полученных экспериментальным и расчетным путем, следует, что математическая модель достаточно хорошо описывает кинетику окисления СН₃СНО в условнях настоящего эксперимента. При моделировании инициированного окисления СН₃СНО оказалось, что лучшее совпадение с экспериментом (табл.) получается при использовании меняющейся в ходе реакции константы окорости гетерогенного разветвления цепей K_{3a} по рекурентному

закону $K_{3a, n+1} = \frac{L_1 \cdot K_{3a+n}}{1 + L_2}$, где $L_1 = 3$ и $L_2 = 0,03$. Это можно счи-

тать математическим выражением того экспериментального факта, что в ходе разветвленно-цепных процессов возможны значительные изменения в состоянии поверхности стенок реакционного сосуда [6].

Смоделирован также процесс распада CH_3CO_3H при $[CH_3CHO]_0=0$. Скорость гомогенного распада CH_3CO_3H уступает окорости гетерогенного распада (\sim в 10 раз). В ходе реакции наблюдается образование больших количеств пероксидных радикалов (10^{12} част \cdot см $^{-8}$), способных инициировать реакцию окисления CH_3CHO . Кинетика накопления радикалов близка к установленной в эксперименте.

Таким образом, результаты математического моделирования свидетельствуют в пользу наших представлений о том, что инициирование газофазного окисления CH_3CHO обусловлено гетерогенным радикальным распадом добавок CH_3CO_3H .

Основные параметры кинетики окисления СН₂СНО

Таблица

 $[CH_3CO_3H]_0 = 0.15 \text{ ob}, \%$ $[CH_{2}CO_{3}H]_{0}=0$, $\tau=30$ c $\tau = 22 c$ экспер. модель экспер. **модель** W ... 1016, част с. 4 с-1 1,4 1,44 2 1,88 [CH3CO3H] max , 1017 4acm · c.u-3 5.2 4,47 7,1 4,98 [CH₃CO₃]_{max}·1012, част-см-3 6,2 15,6 9,7 18.

ЛИТЕРАТУРА

- Брюховецкий В. А. Диссертация на сонск. уч. ст. канд. хим. наук, НИИ Минхим. пром., 1979, Борислав.
- 2. Пароникян Д. Г., Варданян Н. А., Налбандян А. Б. Арм. хвм. ж., 1983, 36, № 1, с. 24.
- 3. Benson S. W. J. Chem. Phys., 1964, vol. 40, p. 1007.
- 4. Зайдин И. Л. Тезисы докл. V! конференции по химии органических перекисных соединений, Донецк 1976, с. 81.
- 5. Ян С. А.,Варданян И. А., Налбандян А. Б. Кин. и кат., 1985, т. 26, No. 3, No. 3, с. 730.
- 6. Азатян В. В., Динабург Е. И., Наморадзе М. А. ФГВ, 1973, Na 5, c. 716.

УЛК 542.934: 661.842.532

ИССЛЕДОВАНИЕ ПРОЦЕССА ГИДРАТАЦИИ ОБЕЗВОЖЕННОГО ДВУГИДРАТА СУЛЬФАТА КАЛЬЦИЯ (ФОСФОГИПСА) В ЗАВИСИМОСТИ ОТ ТЕМПЕРАТУРЫ ОБЕЗВОЖИВАНИЯ И СОДЕРЖАНИЯ РАСТВОРИМОГО Р₂О₅

Г. О. ГРИГОРЯН, А. С. КАРАХАНЯН и А. Н. АЗНАУРЯН Институт общей и неорганической химии АН Армянской ССР, Ереван Поступило 5 II 1985

Известно, что при дегидратации сульфата кальция при температуре до 300° образуется растворимый ангидрит, который хорошо гидратируется. Изучено также влияние растворимого P_2O_5 на процесс гидратации полугидрата сульфата кальция. Установлено, что воднорастворимый P_2O_5 является замедлителем процесса гидратации [1, 2].

Однако в литературе не приводятся данные о влиянии растворимого P_2O_5 на процесс гидратации ангидрита, полученного при различных температурах.

При утилизации фосфогитса, в частности, при регулировании технологического режима при получении гранулированного фосфогитса с заданными физико-механическими свойствами, эта информация весыма нужна, что и привело к необходимости проведения данного исследования.

Дегидратации подвергался фосфогипс с химическим составом (масс. %): $CaSO_4 \cdot 2H_2O = 98$; $P_2O_{5.05m} = 0.65$: $P_2O_{5.0.p} = 0.25$; F = 0.39 и нераств. остаток — 0.8 при температурах обжига (°C): 120, 200, 300 и 400, при содержании растворимого P_2O_5 (масс. %): 0.5; 1.0; 1.5; 2.0. P_2O_5 (в виде фосфорной кислоты) добавлялся в фосфогитс до и после обжига. Исследования проводились по методике [2]. Результаты представлены в таблице и на рис. 1 и 2.

Установлено замедляющее действие P_2O_5 на процесс гидратации ангидритов, полученных при различных температурах обжига. Для получидрата, полученного при 120°, увеличение содержания P_2O_5 до 2% приводит к снижению степени гидраталии (α) от 100 до 62%, а для ангидрата, полученного при 300°, значение αснижается до 11, 2, т. е. при влажности теста 32% и времени гидратации 1 ч процесс практически останавливается. При хранении образца в течение одних суток степень гидратации доходит до 30,1% и остается практически без изменения после 20-суточного хранения.

Проводились специальные наблюдения за процессом гидратации ангидрита при добавлении P_2O_5 в фосфогипс до и после обжига. Результаты представлены в таблице и на рис. 2. Как следует из полученных данных, отрицательное действие P_2O_5 заметнее при добавлении последнего в ангидрит.

	_		-			C=0	mayb	CHIO	атации	c. %				
80	0	1	-	THE R. P.	200				ратаци			7112	-	as VIII.
Температура	BKB P		м	ин	ча	СМ				тки	N.		меся- ши	Приме- чание
Tenn	Добавка масс. %	Вода рения	1	20	1	3	1	2	3	7	10	28	2	
1	1 2	3	4	5	6	7	8	9	10	11	12	13	14	15
300	4	31,4	31,3	62,7	73,4	79,0	84,1	91,8	100.	-	4.7	1 -	-	Р ₂ О ₃ добавлен
120 200 250 300	0,5 0,5 0,5 0,5	31,4 34,6 32,6 44,6	31.9 48,9 39.2 18,0	79,0 72,9 64,7 69,3	74, 5 65, 0	74,3 76,5	84,1 78,5	84,6 85,2 77,5 73,4	85,2 79,5	85,7 85,2 79,5 75,8	85,9 85,7 79,5 77,1	100 80,6	83,6	в фосфо- гипс до обжига
120 200 250 300	1,0 1,0 1,0 1,0	34,0 33,5 33,9 32,3	26.5 15.8 15.4 15,7	20.2	56,3 47.0	62,2 53,0	66,3 53,5	77,5 67,8 55,6 59,1		83,9 69,8 59,1 64,2	84,1 75,0 67,8 64,2	=	93,3 81,1 77,0 67,8	
120 200 250 300	1.5 1.5 1.5 1.5	36,1 34,6 34,0 30,6	32,6 16,0 11,6 13,9	18,5	49,4 16,0	80,1 51,0 36,5 43,8	54,0 39,7	42,2	61,2 48,9		84,1 61,2 49,2 47,4	_	95,4 87,7 72,4 61,7	
120 200 250 300	2,0 2,0 2,0 2,0	36,4 34,7 32,8 32,0	24.8 10.8 9.33 8.06	12,0 9.69	24,6 13,2	76,5 26,3 27,5	52,0 27,4	=	77.0 52,5 36.1 30,1	89,2 55,1 33,1 30,1	100 64,7 40,1 32,5		81,6 66,3 40,3	P ₂ O ₅ добавлен до об- жига
300 300 300 300	0,5 1,0 1,5 2,0	39,7 32,9 35,1 37,8	23.8 26.0 24.4 24,7	31,6 29.0	33,6 32,1	34.1	36,2 34,4	50,5 38,2 34,1 35,7	Ξ	66,3 48,2 35,2 35,7	52,5 37,7 34,6 37,2	_	1111	Р ₃ О ₅ добавлен после обжига

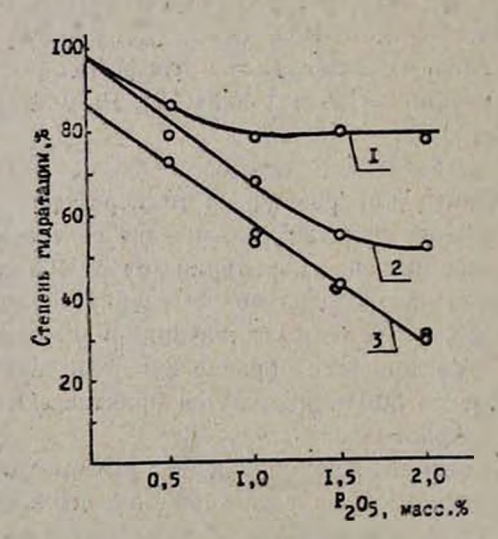


Рис. 1. Зависимость степени гидратации продуктов обжига от содержания P_2O_B (время гидратации — 1 сутки): 1 — темпер. обжига 120°, 2 — 200°, 3 — 250 и 300°.

Отрицательное действие растворимого P_2O_5 на процесс гидратации объясняется его абсорбцией на активных центрах гигидрита, приводящей к задерживанию проникновения молекул воды в полые каналы ангидрита. Это задерживает процесс увеличения координационного числа кальция до девяти, что и замедляет процесс гидратации.

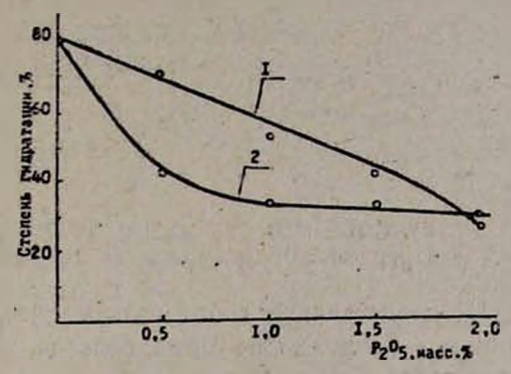


Рис. 2. Зависимость степени гидратации ангидрита (темпер. обжига 300°) от содержания P_2O_5 (время гидратации — 3 ч): $1-P_2O_5$ введен до обжига, $2-P_2O_5$ введен после обжига.

ЛИТЕРАТУРА

- 1. Симановская Р. Э. -- Влияние примссей на скорость фазового превращения полугидрата в гипс. Гипс и фосфогипс. НИУИФ. М., Госхимиздат, 1958.
- 2. Григорян Г. О., Багинова Л. Г., Захарова А. П., Паронян Г. А. Арм. хим. ж., 1985,. т. 38, № 9, с. 542.
- 3. Григорян Г. О., Захарова А. П., Багинова Л. Г., Гюламирян Л. А., Азнаурян А. Н., Мурадян А. Б. Арм. хим. ж., 1986, т. 39, № 3, с.

Армянский химический журнам, т. 39, № 4, стр. 251—253 (1986 г.)

УДК 547.314:783

новые производные 5,5-диметилгидантоина

Э. Г. МЕСРОПЯН, Э. В. МАРТИРОСЯН, Г. Б. АМБАРЦУМЯН №
 Ж. Г. БОЯДЖЯН

Ереванский государственный университет Поступило 30 XI 1984

Известно, что производные гидантоина обладают биологической активностью [1, 2]. С этой точки зрения в продолжение исследований в области предельных у-лактонов [3—5] представлялось интересным осуществить синтез соединений, сочетающих лактонное кольцо с диметилгидантонновым циклом.

Синтез осуществляли взаимодействием алкилглицидилмалововых. (I) или -ацетоуксусных эфиров (II) с 5,5-диметилгидантонном при 155—170°.

$$\begin{array}{c} R'C(R)COOEt \\ CH_{2}CH - CH_{2} \\ I, II \end{array} \qquad \begin{array}{c} CH_{3} \\ O \\ CH_{3}CHCH_{2} - N \\ O \\ O \end{array} \qquad \begin{array}{c} R'C(R)COOEt \\ CH_{3}CHCH_{3} - N \\ O \\ O \\ O \end{array} \qquad \begin{array}{c} CH_{3} \\ CH_{3}CHCH_{3} - N \\ O \\ O \\ O \end{array}$$

I, III. R'=COOEt; II. R'=COCH₃; IV. R'=H. Ia—IVa. R=C₄H₉; I6—IV6. R=C₅H₁₁; Is—IVB. R=C₆H₁₃.

Бутанолиды III представляют собой вязкую светло-желтую массу, хорошо растворимую в эфире, хлороформе, бензоле, толуоле и не растворимую в холодной воде.

Бутанолиды IV-белые кристаллические вещества, хорошо раство-

римые в хлороформе, бензоле, ацетоне и горячей воде.

Структура бутанолидов III, IV подтверждена физико-химическими константами, данными элементного, ИК и ПМР спектральных анализов, а также встречным синтезом—взаимодействием 2-алкил-4-бромметил-4-бутанолидов [6] с 5,5-диметилгидантонном.

Экспериментальная часть

ИК спектры сняты на приборе ИКС-22. ИК спектры, v, cm^{-1} : 1770—1775 (C=O лактон.), 1730 (C=O сложноэфир.); 1680, 1710, 1765 (гидантонн. кольцо).

ПМР спектры сняты на приборе «Hitachi-Perkin-Elmer R-20В», (60 МГц) в ССІ₄ (внутренний стандарт ГМДС). ПМР спектры соединений III, IV, м. д.: 0,8—1,77 т (3H, CH₃), 2,15 м (2H, CH₂ в лактон. цикле), 2,8 к (СН₂N), 3,9 к (2H, СООСН₂СН₃ для соед. III), 4,65 м (Н, СН в лактон. цикле).

Чистота синтезированных бутанолидов проверена методом ТСХ в системе гексан: хлороформ: 1,4-диоксан (10:5:15), обнаружение—парами йода.

Синтез алкилглицилмалоновых (I) и- ацетоуксуоных (II) эфиров описан ранее в [3—5].

2-Алкил-2-этоксикарбонил- и 2-алкил-4-(5',5'-диметилгидантоинометил-4) бутанолиды III, VI. Эквимольную смесь 5,5-диметилгидантоина и алкилглицидилмалонового (алкилглицидилацетоуксуоного) эфира нагревают на масляной бане 10 ч при 150—170°, затем перегоняют в вакууме. Физико-химические константы и данные анализов соединений III—IV приведены в таблице.

Встречный синтез соединения IVa. Смесь 3,5 г (0,0115 моля) 2-бутил-4-бромметил-4-бутанолида, 1,65 г (0,011 моля) натриевой соли 5,5-диметилгидантонна, 14 мл сухого диметилформамида кипятят 5 ч, затем

оклаждают до комнатной температуры, после фильтрации удаляют диметилформамид, остаток растворяют в сухом ацетоне, после фильтрации удаляют ацетон, остаток перегоняют в вакууме. Получено 2,1 г (50%) соединения IVa с т. пл. 126—128° (из эфира), не дающего депрессии температуры плавления в смеси с полученным в предыдущем опыте.

Таблица 2-Алкил-2-этоксикарбония-4-(5',5'-диметилгидантоинометил-4)бутанолиды III и 2-алкил-4-(5',5'-диметилгидантоинометил-4)бутанолиды IV

дине-	R	A, 28	Т. кип.,	п20	Т. пл	Hañ	дено,	%	Вычн	слено	, %	
Соедь	K	Выход,	°С мм	"5	°C	С	Н	N	С	н	N	R _f
Illa	C ₄ H,	50 ,0	249—254/3	1,4846		57,18	7,10	8,15	57,62	7,54	7,90	_
1116	C5H11	62,0	260—265/3	1,4895	_	58,06	7,48	7,48	58,69	7,60	7,60	-
Шв	C.H.,	60,5	255-260/1,5	_	116-118	60,20	7,80	7,56	59,68	7,85	7,59	
IVa	C ₄ H ₉	81,0	240-246/4	1,4820	126—128	58,67	7,72	9,76	59,57	7,80	9,92	0,59
1V6	C5H11	56.0	235-240/2	1,4842	122-124	60,90	8,00	9,04	60,81	8,10	9,45	0.56
IVв	C.H 13	67,0	235-240/1,5	1,4822	106-107	62,50	7,70	9,00	61,93	8,38	9,03	0,57

ЛИТЕРАТУРА

- 1. Пат. 2252340 (1975), Фр. Бюлл. изобр. в СССР и за рубежом, гр. 18, № 14, с. 108.
- 2. Пат. 3881137 (1975), США Бюлл. нзобр. в СССР и за рубежом, гр. 18, № 13, ч. 1, с. 97.
- 3. Месропян Э. Г., Амбарцумян Г. Б., Бунятян Ю. А., Дангян М. Т. Арм. хим. ж., 1974, т. 27, № 11, с. 950.
- 4. Месропян Э. Г., Карапетян З. Т., Дангян М. Т. Арм хим. ж., 1969, т. 22, №10, с. 904.
- 5. Месропян Э. Г., Бунятян Ю. А., Дангян М. Т. Арм. хим. ж., 1970, т. 23, № 8, с. 713.
- 6. Бояджян Ж. Г., Аракелян С. В., Крамер М. С., Дангян М. Т. Арм. хим. ж., 1966, т. 19, № 10, с. 810.

Армянский химический журнал, т. 39, № 4, стр. 263—255 (1986 г.)

УДК 547.745

РЕАКЦИЯ **β-АРОИЛПРОПИОНОВЫХ** КИСЛОТ С ТИОМОЧЕВИНОЙ

Э. В. САФАРЯН, Г. В. ГРИГОРЯН в С. Г. АГБАЛЯН Институт органической химии АН Армянской ССР, Ереван Поступило 31 I 1985

Ранее нами было показано, что реакция β-ароилиропионовых кислот с мочевиной при 140—150° приводит к образованию γ-арил-γ-(2-арил-5-оксо-2-пирролин-4-илиден) масляных кислот с высокими выходами [1].

Мы предполагали, что промежуточно образуется моноамид непредельной дикарбоновой кислоты. Для подтверждения предложенной схе-

мы мы попытались синтезировать у-арил-у- (2-арил-5-оксо-2-пирролин-4илиден) масляные кислоты из β-ароилпропионовых кислот и тиомочевины, поскольку было известно, что амиды карбоновых кислот можно получать их реакцией с тиомочевиной [2, 3].

Напреванием β-ароиллропионовых кислот с тиомочевиной при 140—150° удалось получить кислоты I, идентичные γ-арил-γ-(2-арил-5-оксо-2-пирролин-4-илиден) масляным кислотам, полученным ранее [1, 4].

$$2A_{1}CCH_{2}CH_{2}COOH \xrightarrow{I^{*}} CH_{2}-C=CCH_{2}CH_{2}COOH \xrightarrow{(NH_{2})_{2}CS} CH_{2}COOH$$

$$CH_{2}-C=CCH_{2}CH_{2}COOH$$

$$A_{1}C=OCONH_{2}$$

$$A_{2}CH_{2}COOH$$

$$A_{3}CH_{2}COOH$$

$$A_{4}C=OCONH_{2}$$

$$A_{5}CH_{2}COOH$$

$$A_{6}CH_{2}CH_{2}COOH$$

Экспериментальная часть

УФ спектры получены на опектрофотометре «Specord UV-vis» в этаноле, ИК спектры—на спектрофотометре UR-20 в вазелиновом масле. Чистота контролировалась методом ТСХ на пластинках «Silufol» в системах бензол—ацетон 2:1 (А) и бензол—ацетон 1:1 (Б), проявитель пары йода.

 γ -Арил- γ -[2-арил-5-оксо-2-пирролин-4-илиден] масляные кислоты. Смесь 0,02 моля β -ароилпропноновой кислоты и 0,72 г (0,01 моля) тиомочевины нагревали при 150° 3—6 ч. Реакционную массу перекристаллизовывали из уксусной кислоты и промывали небольшим количеством ацетона, затем высушивали в вакууме при 100° (табл.). ИК опектры, см-1: 1680, 1720 (C=O); 3180 (NH); 840, 1490—1500, 1590—1595 (аром), 1615 (C=C). УФ спектры, $\lambda_{\text{макс}}$ (этанол), нм: 205, 263, 395 (Ar=C₆H₅), 200, 273, 402 (Ar=n-BrC₆H₄), 205, 265, 400 (Ar=n-CH₃C₆H₄).

136/100	24 103 V		3 - 4		100				Таблица
Ar	Т. пл., °°С (уксусная	Ha	ядено.	%	Выч	числено	, %	88	R _f
	кнслота)	С	Н	N	С	н	N	Выход.	A; B
C ₆ H ₅ n-CH ₃ C ₆ H ₄ n-BrC ₆ H ₄	217—218 259 265	75,41 76,24 50,46	5,68 6,15 3,28	4,11 3,89 3,00	75,22 76,06 50,30	5,37 6,09 3,15	4,39 4,02 2,93	71 65 54	0,41; 0,88 0,37; 0,85 0,42; 0,90

JHTEPATYPA

1. Авт. свид. 1109389 (1983), СССР/Агбалян С. Г., Сафарян Э. В., Григорян Г. В.— Бюлл. изобр., 1984, № 31.

- 2. Rahman A., Medrano M. A., Mittal O. P. Rec. trav. chim., 1960, vol. 79, № 2, p. 188 192.
- 3. Rahman A., Medrano M. A., Jeanneret B. E. J. Org. Chem., 1962, vol. 27, № 9. p. 3315 3317.
- 4. Flesselmann H., Ehmann W. Chem. Ber., 1958, Bd. 91, No. 8, S 1713 1719.

Армянский химический журнал, т. 39, № 4, стр. 255—258 (1986 г.)

УДК 542.944.5:661.723.8

СПОСОБ ГИДРОХЛОРИРОВАНИЯ 1- и 2-ХЛОР-1,3-БУТА-ДИЕНОВ В НЕПОЛЯРНОЙ СРЕДЕ

Н. Ц. ТАТЕВОСЯН, Г. Г. МКРЯН, Э. Е. КАПЛАНЯН и Г. Т. МАРТИРОСЯН Научно-производственное объединение «Наирит», Ереван Поступило 4 III 1985

Известно, что присоединение хлористого водорода к 1- и 2-хлор-1,3бутадиенам осуществляется под действием соляной кислоты в присутствии и в отсутствие катализатора—полухлористой меди [1, 2]. В литературе отмечается, что попытки осуществить гидрохлорирование 2-хлор-1,3-бутадиена в безводных условиях оказались безуспешными [3, 4]. Гидрохлорирование 1-хлор-1,3-бутадиена в безводных условиях не изучено.

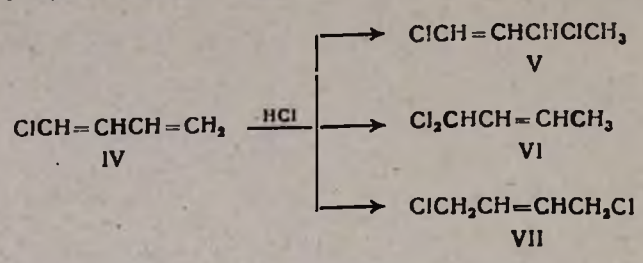
В работе [5] сообщалось, что 2,3-дихлор-1,3-бутадиен в полярной среде (вода, уксусная кислота) не присоединяет хлористый водород. В то же время было показано, что в неполярной среде (CCl₄) при —10° и в присутствии хлоридов Fe или Al получается продукт 1,4-присоединення—1,2,3-трихлор-2-бутен с хорошим выходом (до 63%).

Такое поведение 2,3-дихлор-1,3-бутадиена, а также несомиенная перспективность использования низких температур при гидрохлорировании, особенно с точки зрения возможности проведения высокоселективных синтезов за счет энергетического отбора, побудили нас пересмотреть имеющиеся в литературе данные для уточнения возможности осуществления гидрохлорирования монохлорпроизводных 1,3-диенов в неполярной среде.

Согласно работе [1], 2-хлор-1,3-бутадиен (I) при гидрохлорировании конц. соляной кислотой в присутствии полухлористой меди образует 1,3-дихлор-2-бутен (II) (91%) наряду с небольшим количеством (3,5%) 1,2-дихлор-3-бутена (III).

В аналогичных условиях гидрохлорирование 1-хлор-1,3-бутадиена (IV) наряду с 1,3-дихлор-1-бутеном (V) (73%) приводит к образованию

1,1-дихлор-2-бутена (VI) и 1,4-дихлор-2-бутена (VII) с общим выходом побочных продуктов $\sim 15\%$ [2].



Нами показано, что I и IV можно успешно гидрохлорировать в неполярной среде (ССІ₄, дихлорэтан) в присутствии 1—2% безводного хлорного железа в температурном интервале—40÷20°. При этом I образует исключительно II, а IV—V. С целью предотвращения полимеризации исходных диелов I и IV использовались добавки ингибитора полимеризации третбутилпирокатехина (2%).

При гидрохлорировании I сухим газообразным хлористым водородом в присутствии хлоридов Fe, Al или Zn при мольном соотношении днен: растворитель 1:1 были получены следующие результаты (табл. 1).

Таблица 1
Гидрохлорирование 2-хлор-1,3-бутадиена (I)
хлористым водородом

Температура опыта, °С	Время по- дачи НС1, ч	Катализатор	Выход II, %
—40	8	FeCla	31
—20	4		30
0	4	F-1	80
0	6,5	7-13-16	82
5 : 10*	4	17.00	77
25:30*	4	33.	61
0	4	AICI ₃	15
0	4	ZnCl ₂	6

^{*} При температуре выше 5° наблюдалось образование незначительных количеств близко не изученных высококи-пящих продуктов (ГЖХ). При 25:30° имеет место значительное осмоление 1.

В аналогичных условиях IV присоединяет хлористый водород несколько труднее (табл. 2).

Из данных табл. 1 и 2 видно, что по каталитической активности примененные хлориды металлов располагаются в ряд FeCl₂≫AlCl₃>ZпCl₂.

Показано, что повышение температуры реакции выше 20° способствует присоединению хлористого водорода, однако при этом происходит осмоление диенов. Значительное осмоление наблюдается при проведении реакции в отсутствие растворителя и при гидрохлорировании I в присутствии AlCI₃.

Экспериментальная часть

ГЖХ анализ проводили на хроматографе ЛХМ-8МД с колонкой 3 м×4 мм, наполненной 4% апиезона L и 4% карбовакса 20М на целите 546, детектор-катарометр, скорость газа-носителя (гелий) 40—60 мл/мин. Скорость подачи газообразного хлористого водорода регулировалась реометром и составляла 8—10 л/ч.

Таблица 2 Гидрохлорирование 1-хлор-1,3-бутадиена (IV) хлористым водородом в течение 5 ч

Температура опыта, "С	Катализатор	Выход V, %
40* 20	FeCl ₃	30
-20		37
0	. 4	51
5-10		55
15÷20		59
0	AlCla	9
0	ZnCl ₂	4

^{*} Время гидрохлорирования, 10 ч.

а) Γ идрохлорирование 2-хлор-1,3-бутадиена (I). Через смесь 44,2 г (0,5 моля) свежеперепнанного I (τ . кип. $52-53^\circ/680$ мм, n_D^{20} 1,4540), стабилизированного 1,6 г (2%) третбутилпирокатехина, 77 г (0,5 моля) ССІ₄ и 0,5-0,9 г (1-2%) FeCI₃ при 0° пропускали сухой хлористый водород в течение 4 ч. Смесь отфильтровали, добавили 1-2 г третбутилпирокатехина и перепнали. После отгона растворителя выделили 3,3 г (7%) исходного I и 50,2 г (80%) 1,3-дихлор-2-бутена (11) с τ . кип. $52-54^\circ/50$ мм, n_D^{20} 1,1590 [4]. При $25\div30^\circ$ получили 38 г (61%) II, 7 г близко не изученных высококипящих ($38-73^\circ/20$ мм) и 10,2 г смолистых продуктов.

При гидрохлорировании I без растворителя при 0° после 4 ч подачи хлористого водорода выделили 10,4 г (17%) II и 35 г смолистых продуктов.

б) Гидрохлорирование 1-хлор-1,3-бутадиена (IV). Аналогично 44,2 г (0,5 моля) свежеперегнанного IV (т. кип. 61—64°/680 мм, пр 1,4715) гидрохлорировали 5 ч. После обычной обработки фракционированием выделили 31,8 г (51%) 1,3-дихлор-1-бутена (V) с т. кип. 109—119°/680 мм, пр 1,4650 [6] и 20,7 г (47%) исходного IV. При 25÷30° получили 39 г (62%) V, 5,3 г (12%) IV и 10 г смолистых продуктов.

При 0° в отсутствие растворителя выделили 19,3 г (31%) V, 18,5 г (42%) IV и 11,8 г смолистых продуктов.

Аналогично «а» проводили гидрохлорирование I и IV при—40, —20,5÷10 и 15÷20° в присутствии добавок безводных хлоридов А1 и Zn (табл. 1 и 2).

При гидрохлорировании I и IV в среде дихлорэтана вместо ССІ4 получены аналогичные результаты.

ЛИТЕРАТУРА

1. Мкрян Г. М., Кипланян Э. Е., Татевосян Н. Ц., Айвазян Э. М. Папазян Н. А.— ЖОрХ 1977, т. 13, с. 1823.

2. Капланян Э. Е., Татевосян Н. Ц., Айвазян Э. М., Мкрян Г. М. — ЖОрХ, 1975, т. 11, с. 1364.

3. Де ла Мар П., Болтан Р. — Электрофильное присоединение к ненасыщенным системам. М., Химия, 1958, с. 273.

4. Hatch L. F., Ballin S. C. - J. Am. Chem. Soc., 1949, vol. 71, p. 1039.

5. Казарян Р. А., Капланян Э. Е., Мкрян Г. М.— ЖОрХ, 1976, т. 12, с. 1665. 6. Andrews L. J.— J. Am. Chem. Soc., 1946, vol. 68, p. 2585; Капланян Э. Е., Адамян А. П., Татевосян Н. Ц., Мкртиян А. М., Мкрян Г. М.— Арм. хим. ж., 1984, т. 37.

№ 2, c. 95.

Армянский химический журнал, т. 39, № 4, стр. 258-259 (1986 г.)

письма в РЕДАКЦИЮ

УДК

СИНТЕЗ 1,2-бис-(ДИФЕНИЛФОСФИНО)ЭТАНА И 1,2-бис-(ДИФЕНИЛФОСФИНОКСИДО)ЭТАНА ИЗ АЦЕТИЛЕНА С ПРИМЕНЕНИЕМ МЕЖФАЗНОГО КАТАЛИЗА ИЛИ СУПЕРОСНОВНОЙ СРЕДЫ

В предыдущих сообщениях было описано алкилирование дифенилфосфина и дифенилфосфиноксида ненасыщенными галогенидами и 1,3диенами как в условиях межфазного катализа, так и в суперооновной среде [1, 2].

В продолжение этих исследований найдено, что дифенилфосфин гладко реагирует с ацетиленом при коминатной температуре как в суперосновной среде (КОН+ДМСО), так и в двухфазной каталитической системе жидкость—жидкость в присутствии тетрабутиламмонийбромида (ТБАБ), с образованием 1,2-бис (дифенилфосфино) этана с почти количественным выходом.

$$(C_6H_5)_2PH + HC \equiv CH \xrightarrow{M\Phi K, \overline{O}H} (C_6H_5)_2PCH_2CH_2P(C_6H_5)_2$$

Аналогичные результаты получены при алкилировании дифенилфосфиноксида в суперосновной среде. Проведение реакции в условиях межфазного катализа в этом случае привело к образованию лишь 5% целевого продукта.

$$(C_eH_5)_2PH + HC \equiv CH \xrightarrow{\text{AMCO, KOH}} (C_eH_5)_2PCH_2CH_2P(C_eH_5)_2$$

$$0 \qquad 0$$

1,2-бис (Дифенилфосфино) этан. Через интенсивно перемешиваемую смесь 8 г (0,043 моля) дифенилфосфина в 15 мл ТГФ, 2,4 г (0,0043 моля)

ТБАБ и 2,4 г (0,043 моля) сдкого кали в виде 50% водного раствора в токе аргона в течение часа пропускают ацетилен. Органический слой отделяют, растворитель отгоняют, оставшиеся белые кристаллы промывают этиловым опиртом и сушат в вакууме. Получают 8,24 г (96%) 1,2-бис (дифенилфосфино) этана с т. пл. 144° [3]. Найдено %: С 78,01; Н 5,76; Р 15,21. $C_{28}H_{24}P_2$. Вычислено %: С 78,39; Н 6,03; Р 15,58. Спектр ПМР, δ , м. δ .: 2,9 т. (4H, JH=4,0 Γ 4), 7,30 уш (20 H, $C_{5}H_{5}$).

1,2-бис (Дифенилфосиноксидо) этан. Через интенсивно перемешнваемую смесь 2 г (0,0099 моля) дифенилфосфиноксида, 0,55 г (0,0099 моля) едкого кали, 1 мл воды и 15 мл ДМСО в токе аргона в течение часа пропускают ацетилен при 40°. К смеси прибавляют 20 мл воды, выпавшие кристаллы отделяют, сушат в вакууме. Получают 2 г (93%) 1,2бис (дифенилфосфиноксидо) этана с т. пл. 269°, не дающего депрессии температуры плавления в смеси с известным образцом [4].

ЛИТЕРАТУРА

- 1. Хачатрян Р. А., Саядян С. В., Инджикян М. Г. Арм. хим. ж., 1985, т. 38, № 9, с. 582.
- 2. Хачатрян Р. А., Лулукян Р. К., Оосепян С. Л., Инджикян М. Г. Арм. хим. ж., 1985, т. 38, № 6, с. 369.
- 3. Organic Phosphorus Compounds/Ed, by Kosolapoff G. M., Maier Z. 1972, vol. 1, chap. 1.
- 4. Organic Phosphorus Compounds/Ed. by Kosolapoff G. M., Maier Z. 1972, vol. 3, chap. 6.

Р. А. ХАЧАТРЯН, С. В. САЯДЯН, Н. Ю. ГРИГОРЯН, М. Г. ИНДЖИКЯН

Армянский филиал ВНИИ "ИРЕА", Ереван Институт органической химии АН Армянской ССР, Ереван

Поступило 27 II 1986

Армянский химический журнал, т. 39, № 4, стр. 259-260 (1985 г.)

УДК 546.492+547.3+547.442.3

ВИНИЛИРОВАНИЕ АЦЕТИЛАЦЕТОНА ТЕРМИНАЛЬНЫМИ АЦЕТИЛЕНАМИ В ПРИСУТСТВИИ АЦЕТАТА РТУТИ

Известно, что при взаимодействии СН-кислот с фенилацетиленом в присутствии каталитической системы (HgSO₄+H₂SO₄), вместо ожидаемых продуктов винилирования образуются продукты изомеризации двойной связи [1].

Нами показано, что натрийацетилацетон регноспецифично винилируется терминальными ацетиленами (фенилацетилен, 2-пропин-1-ол ацетат) в присутствии ацетата ртути при 20—25°. Демеркурирование образующихся при этом промежуточных ртутьорганических соединений боргидридом натрия с высокими выходями приводит к винилированным 1,3-дикетонам (II).

3- $(1'\Phiенилвинил)$ -2,4-пентадион (II, $R = C_6H_5$). К 8 z (0,025 моля) ацетата ртути в 50 мл дноксана добавляют по каплям 5,1 z (0,05 моля) фенилацетилена. Перемешивают 1 z и прибавляют 6,1 z (0,05 моля) натрия с 25 мл ацетилацетона в 100 мл дноксана. Реакционную массу перемешивают 6,5 z и порциями добавляют 1 z (0,0263 моля) порошкообразного боргидрида натрия. Температуру в реакционной колбе поддерживают 35—40°. Перемешивают еще 2 z, добавляют 100 мл эфира, через 30 мин 50 мл воды. Экстрагируют z100 мл эфира, сущат сульфатом магния. После удаления растворителя продукт реакции перегоняют в вакууме. Получают 8,8 z (z7%) II (z6z6z7), z7, z7, z8, z91, z91,

 $3-(1'Ацетоксиметилвинил)-2,4-пентандион (II, R=H_3CCOCH_2)$. Аналогично из 8 г (0,025 моля) ацетата ртути, 4,9 г (0,05 моля) 2-пропин-1-ол ацетата, 6,1 г (0,05 моля) натрийащетилацетона в 250 мл диоксана

получают 6,3 г (63%) II (R=H₃CCOCH₂), т. кип. 107—108°/3 мм, Π_D^{20} 1,4820. ПМР спектр, δ , м. δ .: 2,07 с (9H, COCH₂), 4,56 т (2H, OCH₂, J=1,5 Γ μ), 5,14 к и 5,44 к (2H, =CH₂, J=1,5 Γ μ), 16,45 с (1H, OH). ИК спектр, ν , см⁻¹: 840, 3100 (=CH₂), 1205—1220 (COC), 1590—1610 (C=C, C=O), 1740 (OC=O), 3300—3510 (ОН енол.). Найдено %: С 60,87; H 7,31. $C_{10}H_{14}O_4$. Вычислено %: С 60,60. H 7,07.

ЛИТЕРАТУРА

1. Комаров Н. В., Юрченко О. И., Дыбова Т. Н. — ЖОрХ, 1983, т. 19, с. 459.

С. Ж. ДАВТЯН, Ш. О. БАДАНЯН

Институт органической химии АН Армянской ССР, Ереван

Поступило 26 XII 1985

РИПРИМИРОНИ

В Москве с 10 по 15 августа 1986 г. будет проводиться VI Международная конференция по органическому синтезу. Конференция организуется Академней наук СССР при поддержке Международного союза по теоретической и прикладной химии (ИЮПАК), Федерации европейских химических обществ (ФЕХО) и Всесоюзного химического общества им. Д. И. Менделеева.

Научная программа конференции будет включать пленарные лекции, обзорные доклады и стендовые сообщения по четырем основным разделам: современная методология органического синтеза; регио- и стереоселективные реагенты в органическом синтезе; элементоорганические реагенты в органическом синтезе: гомолитические реакции и реакции одноэлектронного переноса в органическом синтезе.

Адрес оргкомитета конференции: 117913, Москва, ГСП-1,В-334, Ленинский проспект, 47, Институт органической химии им. Н. Д. Зелинского АН СССР.

Ֆիզիկական Րիմ [*] իա	
Վարդիկյան Լ. Ա., Գրիգորյան Գ. Լ., Նալբանդյան Ա. Բ. — H ₂ O ₂ 1-1-ezhabet 2-1-	
	202
հուսուն չ փ հուսարուան է Ա., Նիագլան Օ. Մ., Մանթաշյան Ա. Հ. — Մ- P- հի	
և գրարագրերը արականում և այրերական փոխազարան արա արագրան անակարի և այրերական փոխագրան արականական և	
Shukuberd manjugus anyhinisheh Sujubupherade 690 dhilagad	208
Orgzenius the ha	
Մելիթ-Օճանջանյան Ռ. Գ., Խաչատրյան Տ. Ա., Մանուկյան Ա. Գ., Կալդրիկյան	
U. U Ogamquia[5,4-d] upphahapashe	211
Մելիթյան Գ. Գ., Սարգսյան Հ. Բ., Բաղանյան Շ. Հ. — Չհագեցած ժիացությունների	
abatababbe. CXXIV. 2-cq-pqd-t mithabbabbb tob-qqbg-cpj-cbe	
β-դիկարրոնիլային ժիացությունների նետ, ժանգանի ացետատ (III)/ազնձի	12.3
(II) mykmum ogaþafiz aþambóli lekphmjarlijada	228
Thomas 2. C., Sphydias G. Sm., Tumpeda V. C p-bpft Supadfindent mungh-	
ատաային գիոկոոմոլիրդենի (VI) փոխազգեցությունը որոշ մանու և թի- դենատաային լիդանդների նետ Զրային լուծույթներում	223
Կալայրյան Ա. Ե., Հակոբյան Ս. Գ., Կուրդինյան Կ. Ա. — Դիպրոպարգիլ- և գի(2-	283
-ppnd-2-պրոպենիլ)ացետալների հոր ոինքիկ	327
Մանակյան Գ. Ս., Հարությունյան Գ. Լ., Ազաջանյան Ց. Ե., Գարոնիկյան Ռ. Վ. —	1000
Postaphy shounds and shop of both a find the first of the X. 2-Shout mid and	
5,7-դիմե Pիյ-1,3-գիադատգամանաան-6-ոնների սին Pեզբ	242
that it is a second of the sec	
turs huqurquefibr	
Պարոնիկյան Դ. Գ., Ցան Մ. Ա., Վարդանյան Ի. Ա. — <i>Գերբացախանքիկի հերկայու</i> -	
թյամբ բացախալդներգի օջորդացման ռետկցիայի ուսումեասիրությունը	
the the form of the second sec	247
Գրիգորյան Գ. Հ., Կարախանյան Ա. Ս., Ազնաուրյան Ա. Ն. — <i>Դենիդրատարված</i>	
երկնիդրատ կայցիումի սուլֆատի (ֆոսֆոդիպո) նիգրատացման պրոցեսի	
ուսումեասիրությունը կարված դենիգրատացման յերմասաինանից և յու-	
skil P2O5-h ambulhs	249
Ծնորապյան Է. Գ., Մարտիրոսյան Է .Վ., Համբարձումյան Գ. Բ., Իոյաջյան Ժ. Գ. —	
5,5-24dkpfichambanfih ing mbabyjajibby	251
Umbmelme & d., Schantine J. d., Ratmilme D. J Pf-stambirth com	
β-արոիլարոպիսծա <i>β թուների ռեակցիա</i> ն	253
Քաղեստյան Ն. 8., Մկրյան Գ. Գ., Ղափլանյան Է. b., Մարաիրոսյան Գ. Թ.—	1
2- և β- գլորոպրենների հիգրոգլորացման հղանակը ոչ պոլյար միջավայրում	255
"pantahibu jantemaranjanga	- 1"
անաչատրյան Ռ. Ա., Սաբադյան Ս. Վ., Գրիգորյան Ն Ցու, Իննիկյան Մ. Հ. —	
1,3-phu(2+365/cfanfeban)tPmbb b 1,8-phu(q+466/cfanSibogahqu)tPm-	
be applied and applied of the daily for the first of the	
2=4=jph m=jd=Shhpard	258
Դավթյան Ս. Ժ., Բագանյան Շ. Հ. — Ացետիլացետոնի վինիլացումը տերժինալ	
արետիլեններով ոնդիկի արետատի ներկայությամբ	259

СОДЕРЖАНИЕ

	Стр.
Физическая химия	
Вартикян Л. А., Григорян Г. Л., Налбандян А. Б.— Некоторые особен- пости распада паров Н ₂ О ₃ на поверхности графита Косоян А. Ж., Хачатрян Л. А., Ниазян О. М., Манташян А. А.— Обнару- жение методом ЭПР радикалов, возникающих при окислении водорода и метана в контакте с молибденитом	203
0	
Органическая химия	
Мелик-Оганджанян Р. Г. Хачатрян Т. А., Манукяк А. Г., Калдрикян М. А. — Оксазоло[5,4-d] пиримидины	211
ацетат марганца (III)/ацетат меди (II)	228
Мгоян З. Ш., Фридман А. Я., Дятлова Н. М. — Взаимодействие µ-этилен- диаминтетраацетатодиоксомолибдена (VI) с некоторыми моно- и би- дентатными лигандами в водных растворах	233
Калайджян А. Е., Акопян С. Г., Кургинян К. А. — Новый синтез дипро- паргил- и ди(2-бром-2-пропения) ацеталей в условиях межфазного	50 14
партил- и дис-ором-2-пропеналу ацелален в условиях межфазного катализа. :	237
ных 5,7-дяметия-1,3-диазаадамантан-6-онов	242:
Краткие сообщения	
Пароникян Д. Г., Ян С. А., Варданян И. А. — Изучение регкции окислення уксусного альдегила в присутствии добавок СН ₃ СО ₃ Н методом ЭПР Григорян Г. О., Караханян А. С., Азнаурян А. Н. — Исследование процесса гидратации обезвоженного двугидрата сульфата кальшия (фосфогипса) в зависимости от температуры обезвоживания и содержания растворимого Р ₂ О ₅ .	247
Месропян Э. Г., Мартиросян Э. В., Амбарцумян Г. Б., Бояджян Ж. Г. —	
Новые производные 5,5-диметиагидантонна	251
вых кислот с тномочевиной	2g3.
среде	255-
Письма в редакцию	
Хачатрян Р. А., Саядян С. В., Григорян Н. Ю., Инджикян М. Г. — Синтез 1,2-бис (дифенияфосфино) этана и 2,2-бис (дифенияфосфиноксидо) этана из ацетилена с применением межфазного катализа или суперосновной	
среды	258
нальными ацетиленами в присутствии ацетата ртуги.	259.

CONTENTS

Physical Chemistry

Wardikian L. A., Grigorian G. L., Nalbandian A. B.—Certain Features of Hydrogen Peroxide Vapour Decomposition on Graphite Surfaces Kossoyan H. Zh., Khachatrian L. A. Niazian O. M., Mantashian A. A.—Detection of Radicals Produced During the Oxidation Reaction of Hydrogen and Methane in Contact with Molybdenites by Means of the EPR	203
Method	208
Organic Chemistry	
Melik-Ohanjanian R. G. Khachairian T. A., Manoukian A. G., Kaldrikian M. A. — Oxazolo [5,4-d] pyrimidines	211
Compounds, CXXIV. The Interaction of Conjugated Alkenynes with β-Dicarbonyl Compounds in the Presence of Manganese (III) and Cup-	228
Mhoyan Z. Sh., Fridman A. Ya., Dyatlova N. M.— Interaction of μ-Ethylen- ediaminotetraacetate Dioxomolibdenum (VI) with Certain Mono and Bidentate Ligands in Aqueous Solutions	233
Kelaifian A. Ye., Hakopian S. G., Kurghinian K. A A Novel Synthesis	
of Dipropargyl and di(2-Bromo-2-propenyl) Acetals	237
of 2-Substituted- 5,7-dimethyl-1,3-diazaadamantan-6-ones	242
Short Communications	
Paronikian D. G., Yan C. A., Vardanian I. A. — The Study of Acetaldehyde Oxidation Reactions in the Presence of CH ₃ CO ₃ H Addition by EPR	
Method	247 249
Mesropian E. G., Martirossian E. V., Hambartsumian G. B., Boyajian Zh. G.	
New Derivatives of 5,5-Dimethyl Hydration	251
propionic Acids with Thiourea	253 255
Latters of the Police	
Letters of the Editor	
Khachatrian R. A., Sayadian S. V., Grigorian N. Yu., Injikian M. H. — Synthesis of 1,2-bis(diphenylphosphino)ethan and 1,2-bis-(diphenylphosphinoxido)ethan from Acetylene using Both Interphase Catalysis and	0.50
Davition S. Zh., Badanian Sh. H. — Acetylacetone Vinylation with Therminal Acetylenes in the Presence of Mercuric (II) Acetate	258 259
NAMES OF THE PARTY.	